

IA841 – Modelagem de Sólidos

Curvas Espaciais

Farin: Capítulos 4, 5 e 8

Parábola

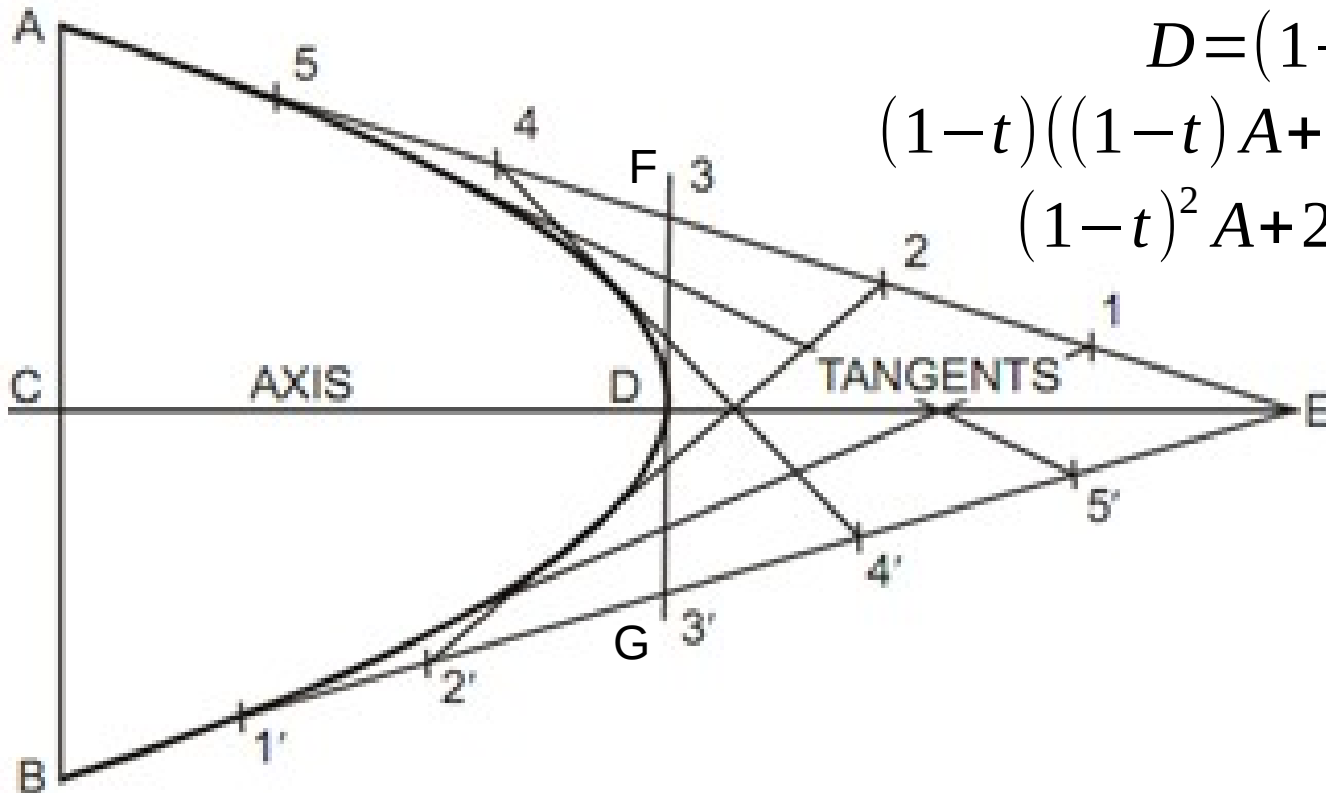
- Teorema das Três Tangentes

$$\text{razão}(A, F, E) = \text{razão}(F, D, G) = \text{razão}(E, G, B) = \frac{t}{1-t}$$

$$D = (1-t)F + tG$$

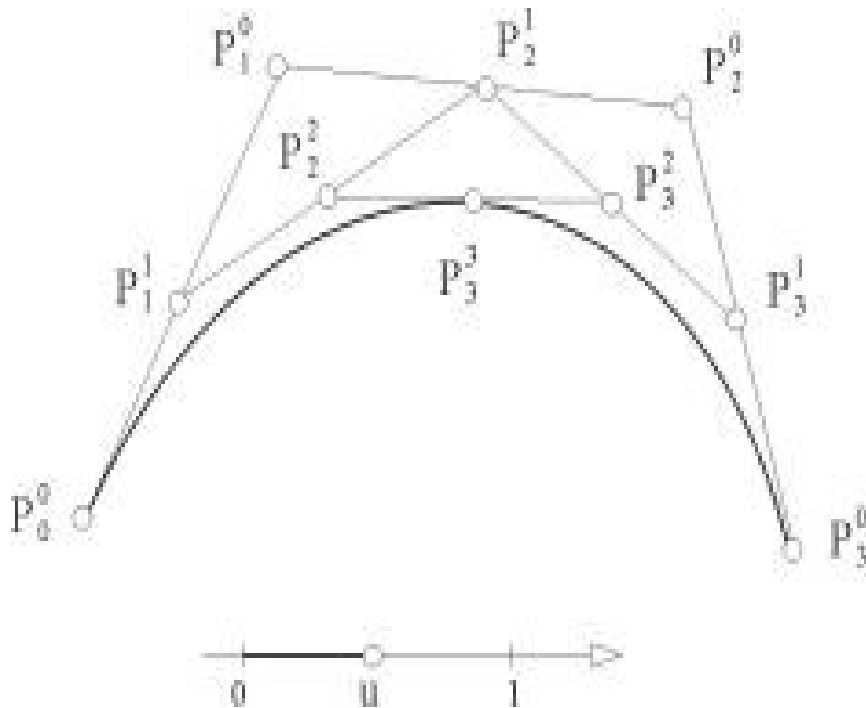
$$(1-t)((1-t)A + tE) + t((1-t)E + tB)$$

$$(1-t)^2 A + 2t(1-t)E + t^2 B$$

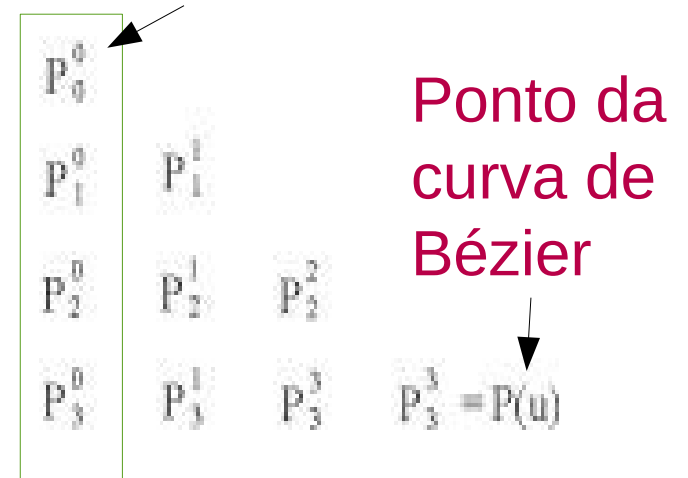


Esquema de Construção DeCasteljau

Interpolações lineares sucessivas



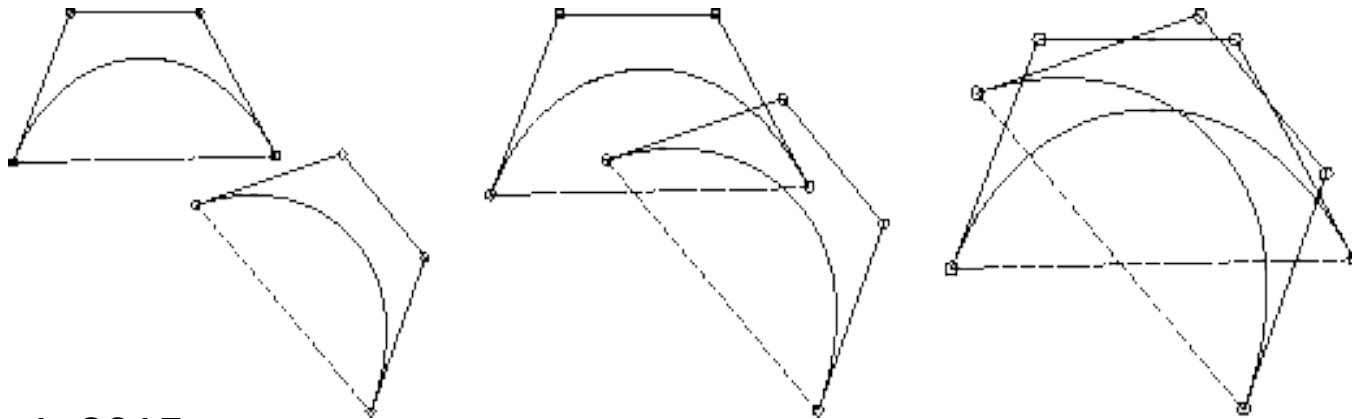
Pontos de Bézier ou Pontos de controle



Polígono de Bézier ou Polígono de controle

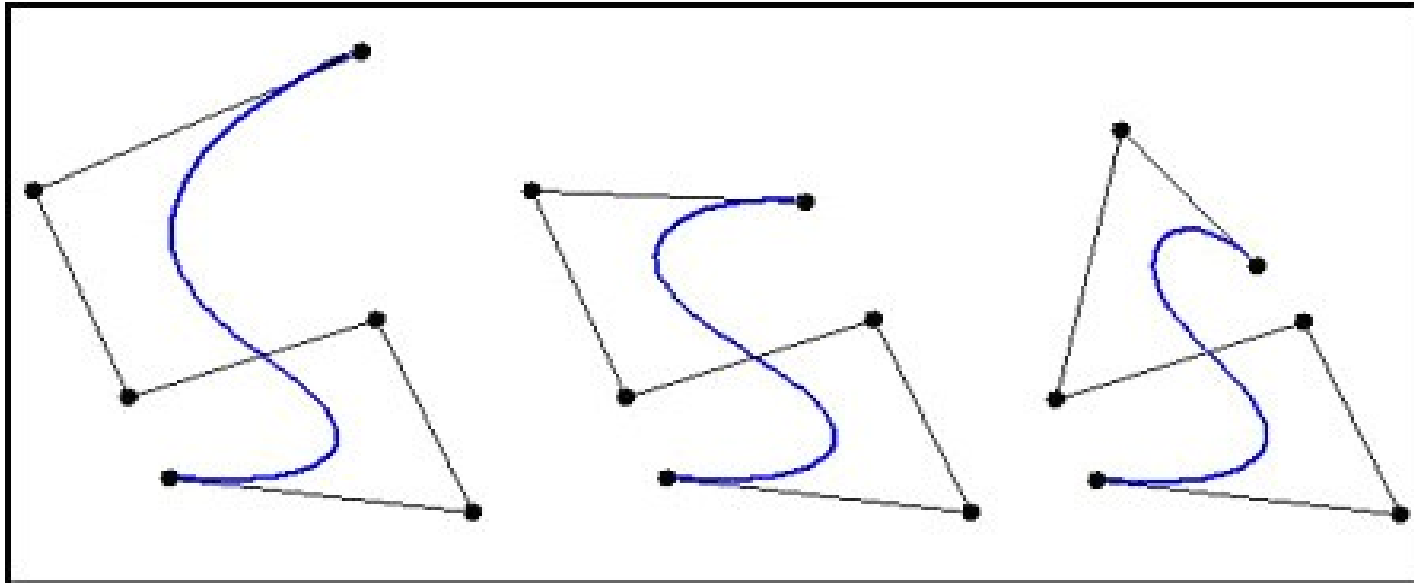
Propriedades do Algoritmo de DeCasteljau

- Curvas invariantes sob transformações afins, mas **não são invariantes sob transformações projetivas!**
- Curvas invariantes sob transformações afins no domínio.
- Curvas contidas no fecho convexo do seu polígono de controle.

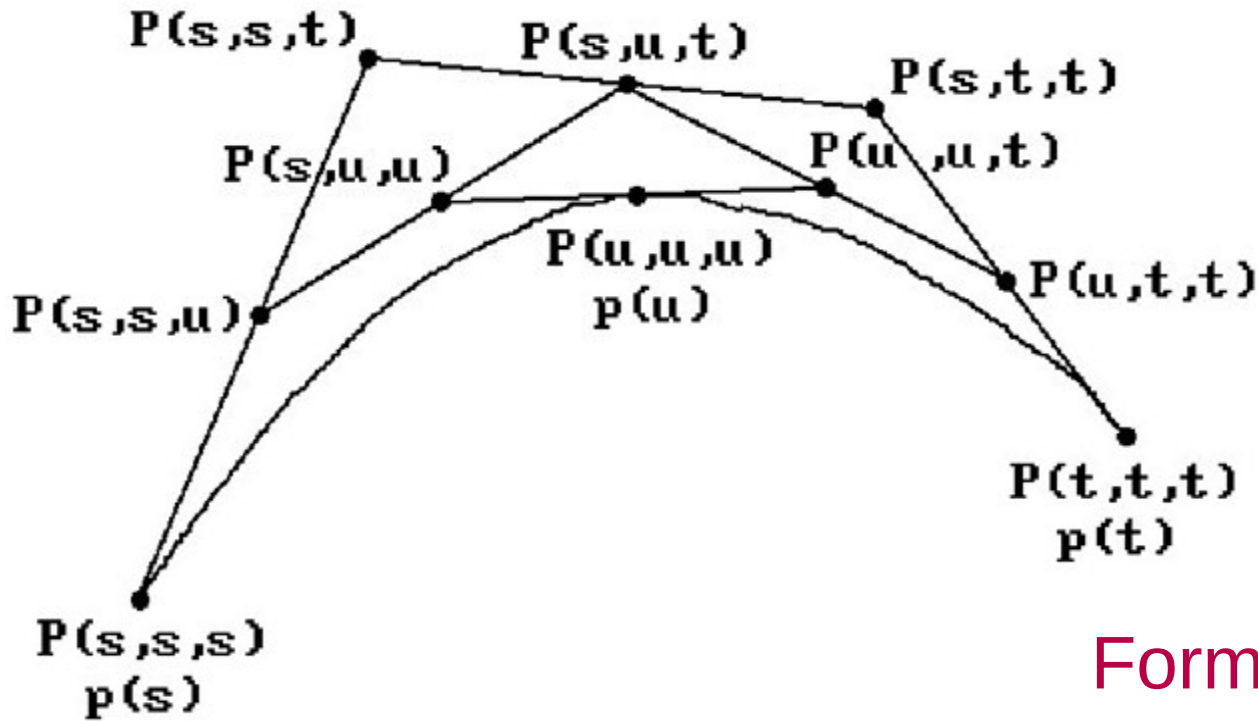


Propriedades do Algoritmo de DeCasteljau

- Número de combinaçãoe afins = (número de pontos de controle -1).
- Curvas acompanham a forma do seu polígono de controle.



Blossom



Formulação multifim

$$P(s, s, s) = P(0, 0, 0)$$

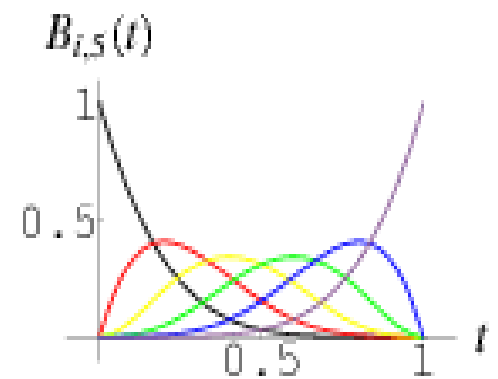
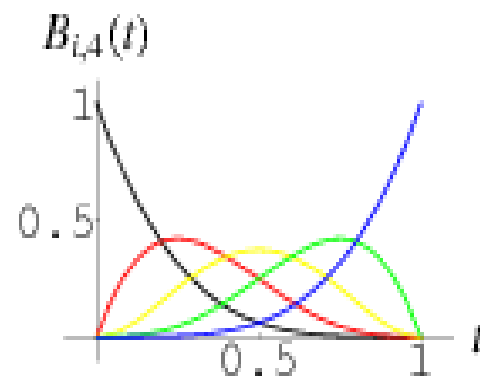
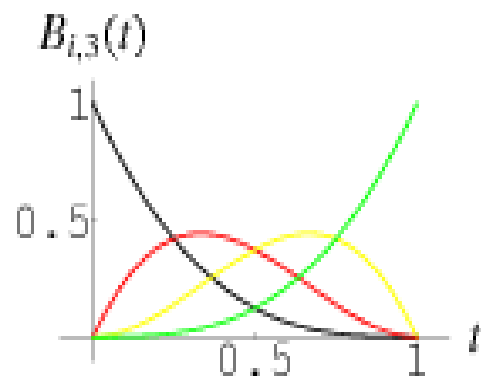
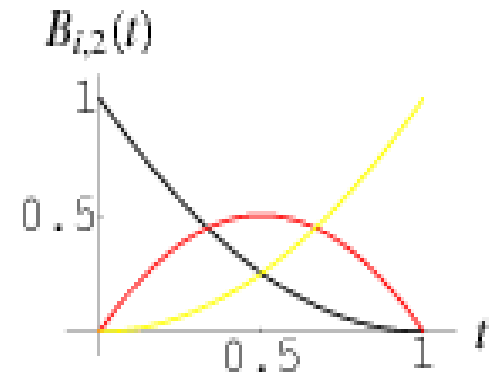
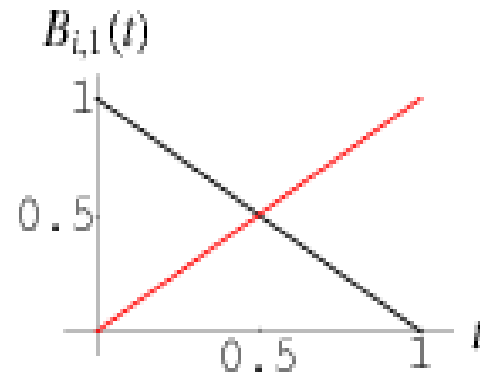
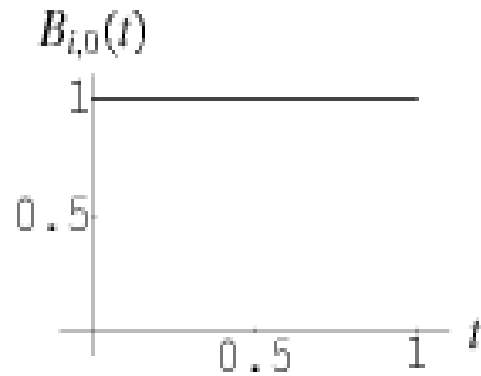
$$P(s, s, t) = P(0, 0, 1) \quad P(s, s, u)$$

$$P(s, t, t) = P(0, 1, 1) \quad P(s, u, t) \quad P(s, u, u)$$

$$P(t, t, t) = P(1, 1, 1) \quad P(u, t, t) \quad P(u, u, t) \quad P(u, u, u)$$

Funções de Bernstein

$$B_i^n(t) = \binom{n}{i} t^i (1-t)^{n-i} = \frac{n!}{i!(n-i)!} t^i (1-t)^{n-i}$$



Recursividade

$$B_i^n(t) = \binom{n}{i} t^i (1-t)^{n-i} = \frac{n!}{i!(n-i)!} t^i (1-t)^{n-i}$$

$$\frac{(n-i+1)(n-1)!}{i(i-1)!(n-i)(n-1-i)!} t^i (1-t)^{n-i}$$

$$\left(\frac{(n-i)(n-1)!}{i(n-i)(i-1)!(n-1-i)!} + \frac{i(n-1)!}{i(i-1)!(n-i)(n-1-i)!} \right) t^i (1-t)^{n-i}$$

$$\frac{(n-1)!}{i!(n-1-i)!} t^i (1-t)^{n-i} + \frac{(n-1)!}{(i-1)!(n-i)!} t^i (1-t)^{n-i}$$

$$\frac{(n-1)!}{i!(n-1-i)!} t^i (1-t)^{n-1-i} (1-t) + \frac{(n-1)!}{(i-1)!(n-i)!} t^{(i-1)} (1-t)^{(n-1)-(i-1)} t$$

$$B_i^n(t) = (1-t) B_i^{n-1}(t) + t B_{i-1}^{n-1}(t)$$

Algoritmo de DeCasteljau ↔ Funções de Bernstein

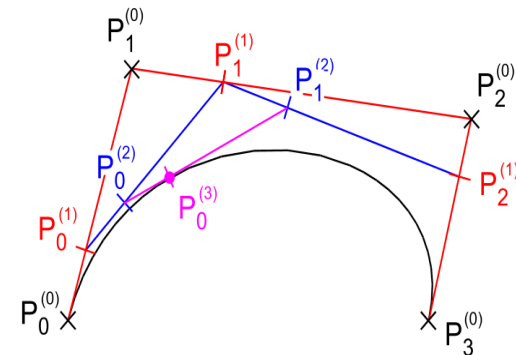
$$b(t) = \sum_{i=0}^n b_i B_i^n(t) = \sum_{i=0}^n b_i \left[(1-t) B_i^{n-1}(t) + t B_{i-1}^{n-1}(t) \right]$$

$t=0$

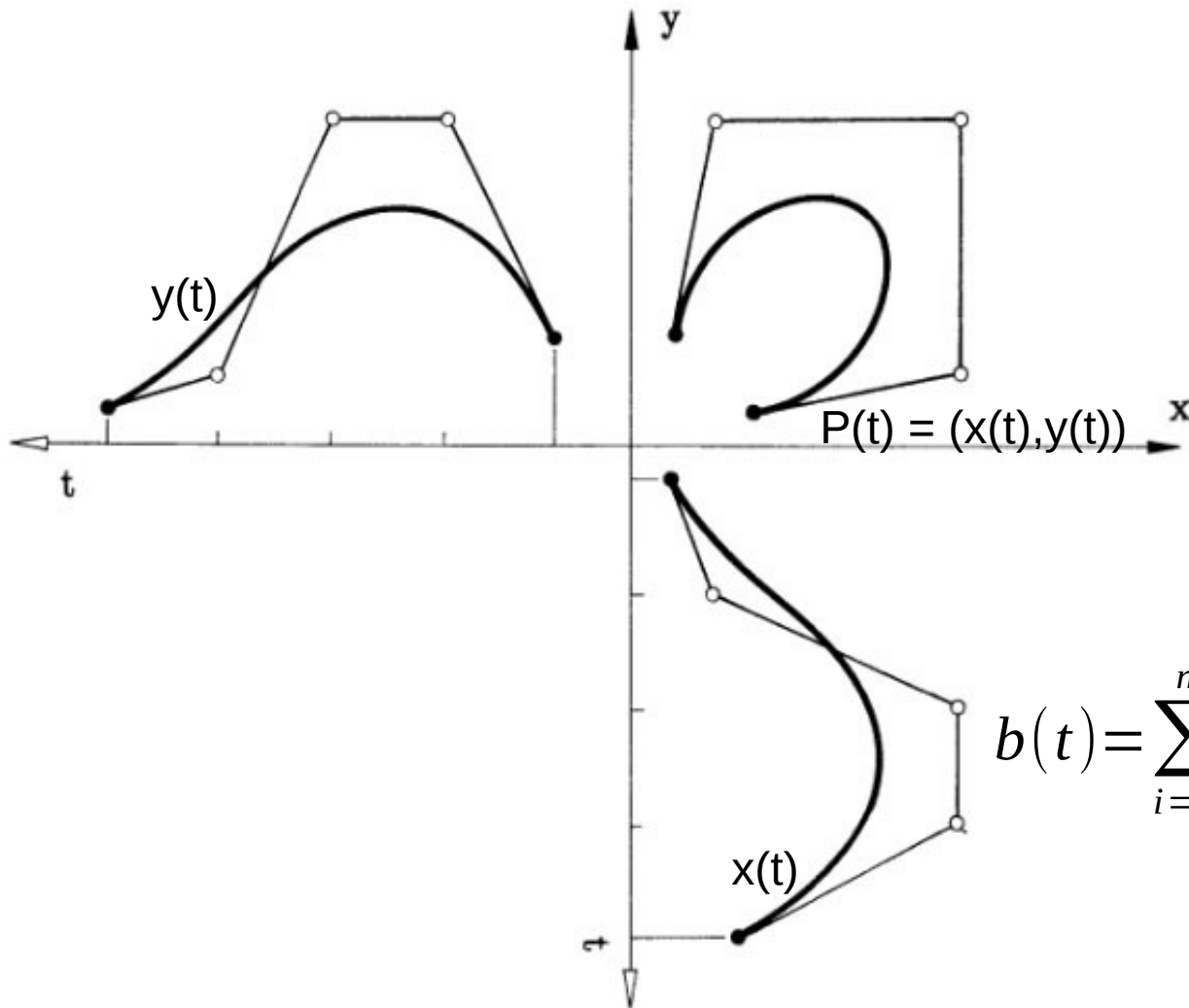
$$\begin{aligned}
 & b_0 t B_{-1}^{n-1}(t) + b_0 (1-t) B_0^{n-1}(t) + b_1 t B_0^{n-1}(t) + b_1 (1-t) B_1^{n-1}(t) + b_2 t B_1^{n-1}(t) + \dots \\
 & \qquad \qquad \qquad \underbrace{\hspace{10em}}_{b_0^1} \qquad \qquad \qquad \underbrace{\hspace{10em}}_{b_1^1} \\
 & \dots + b_{i-1} (1-t) B_{i-1}^{n-1}(t) + b_i t B_{i-1}^{n-1}(t) + b_i (1-t) B_i^{n-1}(t) + b_{i+1} t B_i^{n-1}(t) + \dots \\
 & \qquad \qquad \qquad \underbrace{\hspace{10em}}_{b_{i-1}^1} \qquad \qquad \qquad \underbrace{\hspace{10em}}_{b_i^1} \\
 & \dots + b_{n-1} (1-t) B_{n-1}^{n-1}(t) + b_n t B_{n-1}^{n-1}(t) + b_n (1-t) B_n^{n-1}(t) \\
 & \qquad \qquad \qquad \underbrace{\hspace{10em}}_{b_{n-1}^1}
 \end{aligned}$$

$t=1$

$$b(t) = \sum_{i=0}^{n-r} b_i^r B_i^{n-r}(t)$$



Coordenadas \rightarrow Curvas

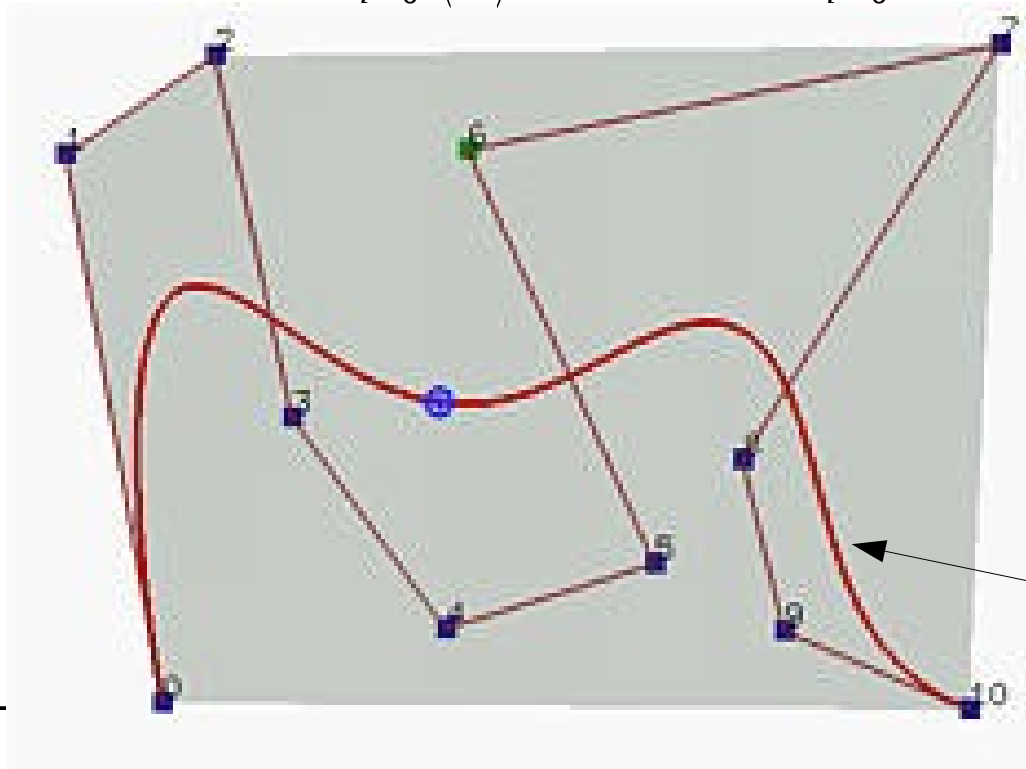


$$b(t) = \sum_{i=0}^n b_i B_i^n(t) = \begin{pmatrix} \sum_{i=0}^n x_i B_i^n(t) \\ \sum_{i=0}^n y_i B_i^n(t) \end{pmatrix}$$

Propriedades das Funções de Bernstein

- Curvas contidas no fecho convexo do polígono de controle.

$$1 = (t + (1-t))^n = \sum_{i=0}^n \binom{n}{i} t^i (1-t)^{n-i} = \sum_{i=0}^n B_i^n(t)$$



Propriedades das Funções de Bernstein

- Curvas invariantes sob transformações afins
 - Combinações baricêntricas
- Curvas invariantes sob transformações afins dos parâmetros no domínio

$$\sum_{i=0}^n b_i B_i^n(t) = \sum_{i=0}^n b_i B_i^n\left(\frac{u-a}{b-a}\right)$$

$$B_i^n(t) = \frac{n!}{i!(n-i)!} t^i (1-t)^{n-i}$$

$$B_i^n\left(\frac{u-a}{b-a}\right) = \frac{n!}{i!(n-i)!} \left(\frac{u-a}{b-a}\right)^i \left(1 - \frac{u-a}{b-a}\right)^{n-i}$$

Propriedades das Funções de Bernstein

- Curvas interpolam os pontos extremos do seu polígono de controle.

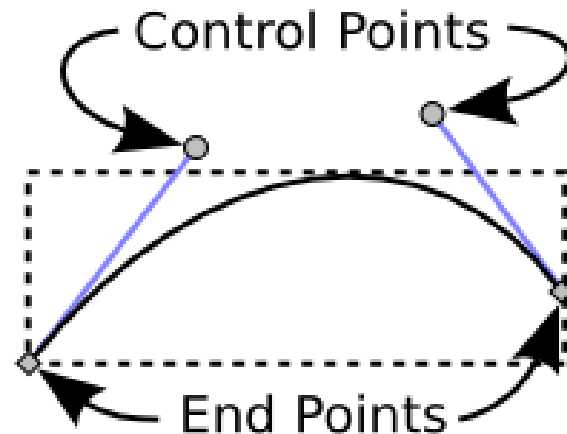
$$b(t) = \sum_{i=0}^n b_i B_i^n(t) \quad \sum_{i=0}^n B_i^n(t) = 1; B_0^n(0) = 1; B_n^n(1) = 1$$

- Curvas tangenciam os segmentos extremos do seu polígono de controle.

$$b'(t) = \sum_{i=0}^n b_i \frac{d B_i^n(t)}{dt}$$

$$b'(0) = b_1 - b_0$$

$$b'(1) = b_n - b_{n-1}$$



Propriedades das Funções de Bernstein

- Curvas simétricas em relação ao domínio.

$$B_i^n(t) = \frac{n!}{i!(n-i)!} t^i (1-t)^{n-i}$$

$$\frac{n!}{(n-i)!(n-(n-i))!} (1-t)^{n-i} (1-(1-t))^{n-(n-i)} = B_{n-i}^n(1-t)$$

- Curvas invariantes sob combinações baricêntricas.

$$\alpha + \beta = 1$$

$$\alpha b(t) + \beta c(t) = \alpha \sum_{i=0}^n b_i B_i^n(t) + \beta \sum_{i=0}^n c_i B_i^n(t) = \sum_{i=0}^n (\alpha b_i + \beta c_i) B_i^n(t)$$

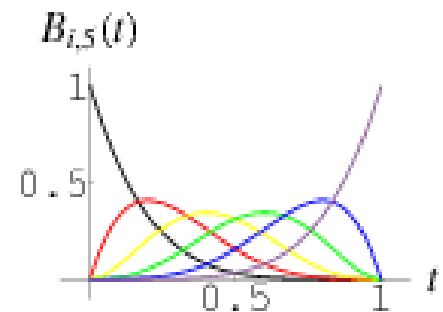
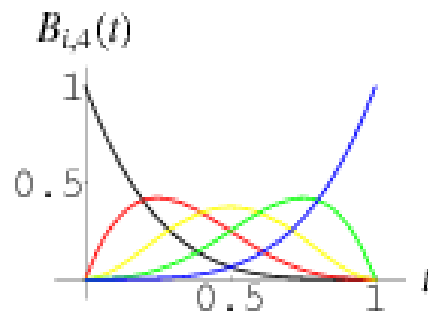
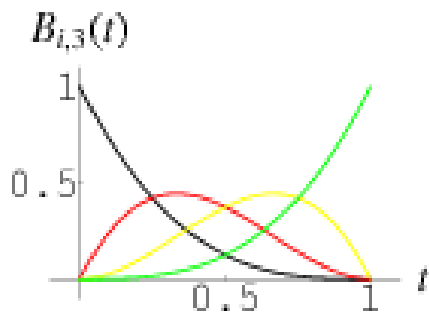
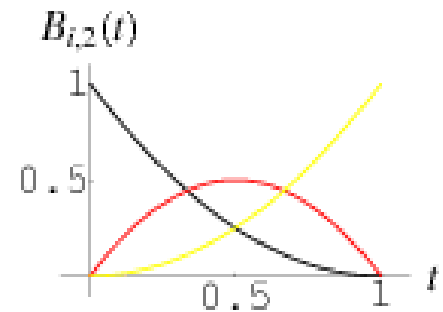
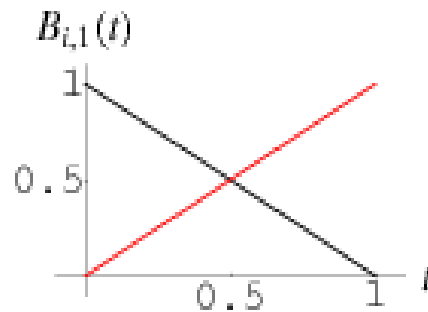
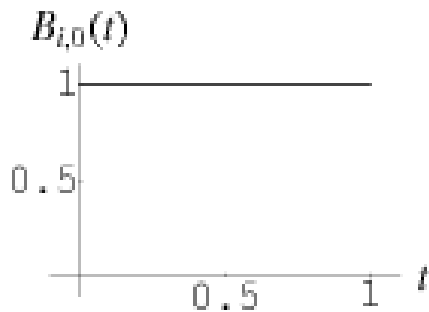
- Grau das funções = número de pontos de controle - 1

Propriedades das Funções de Bernstein

- Precisão linear: pontos de controle colineares \rightarrow segmento de reta

$$b(t) = \sum_{i=0}^n \frac{i}{n} B_i^n(t) = \sum_{i=0}^n \frac{i}{n} \frac{n!}{i!(n-i)!} t^i (1-t)^{n-i} = t$$

- Previsibilidade.



Notação Matricial

- Curvas Cúbicas

$$\begin{aligned} B_0^3(t) &= (1-t)^3 = 1 - 3t + 3t^2 - t^3 \\ B_1^3(t) &= 3t(1-t)^2 = 3t(1-2t+t^2) = 3t - 6t^2 + 3t^3 \\ B_2^3(t) &= 3t^2(1-t) = 3t^2 - 3t^3 \\ B_3^3(t) &= t^3 \end{aligned} \quad \begin{pmatrix} B_0^3(t) \\ B_1^3(t) \\ B_2^3(t) \\ B_3^3(t) \end{pmatrix} = \begin{pmatrix} 1 & -3 & 3 & -1 \\ 0 & 3 & -6 & 3 \\ 0 & 0 & 3 & -3 \\ 0 & 0 & 0 & 1 \end{pmatrix} \begin{pmatrix} 1 \\ t \\ t^2 \\ t^3 \end{pmatrix}$$

$$b(t) = \sum_{i=0}^n b_i B_i^n(t) = \begin{pmatrix} b_0 & b_1 & b_2 & b_3 \end{pmatrix} \begin{pmatrix} B_0^3(t) \\ B_1^3(t) \\ B_2^3(t) \\ B_3^3(t) \end{pmatrix}$$

Seções Cônicas

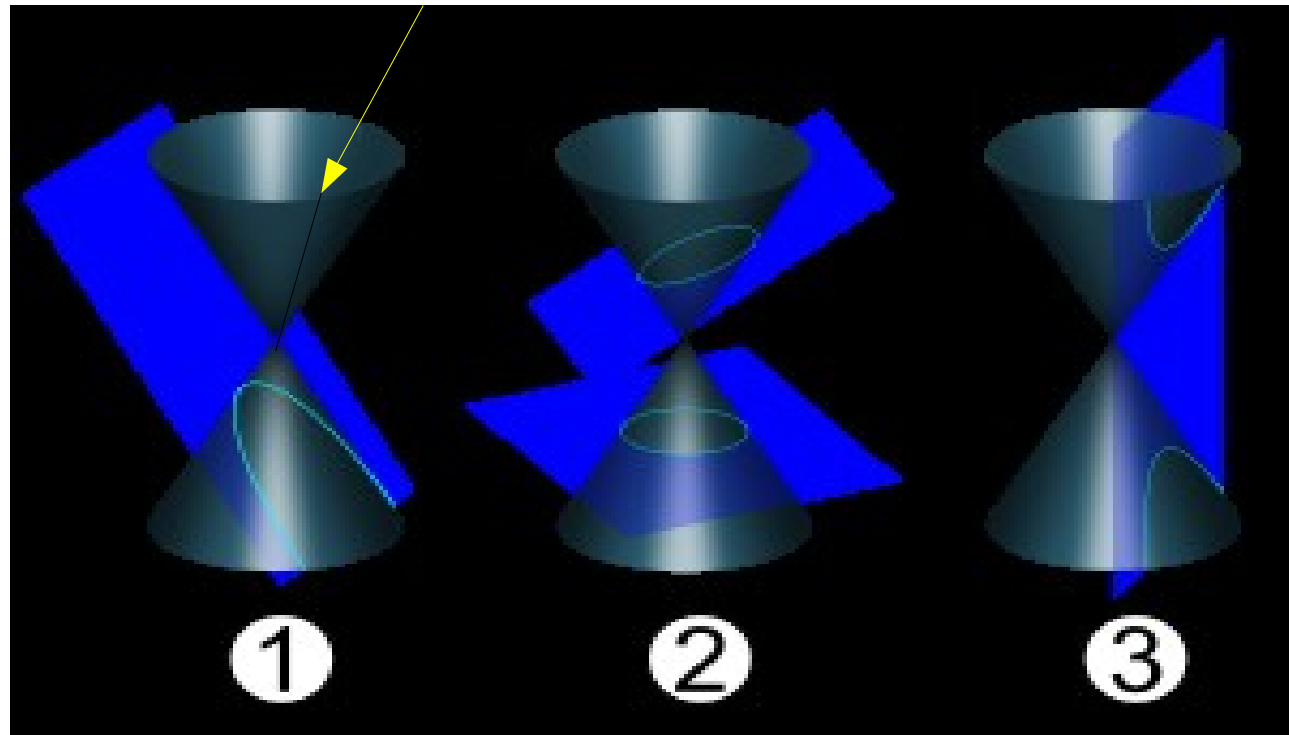
- Interseções entre um cone e um plano

(1) Parábola

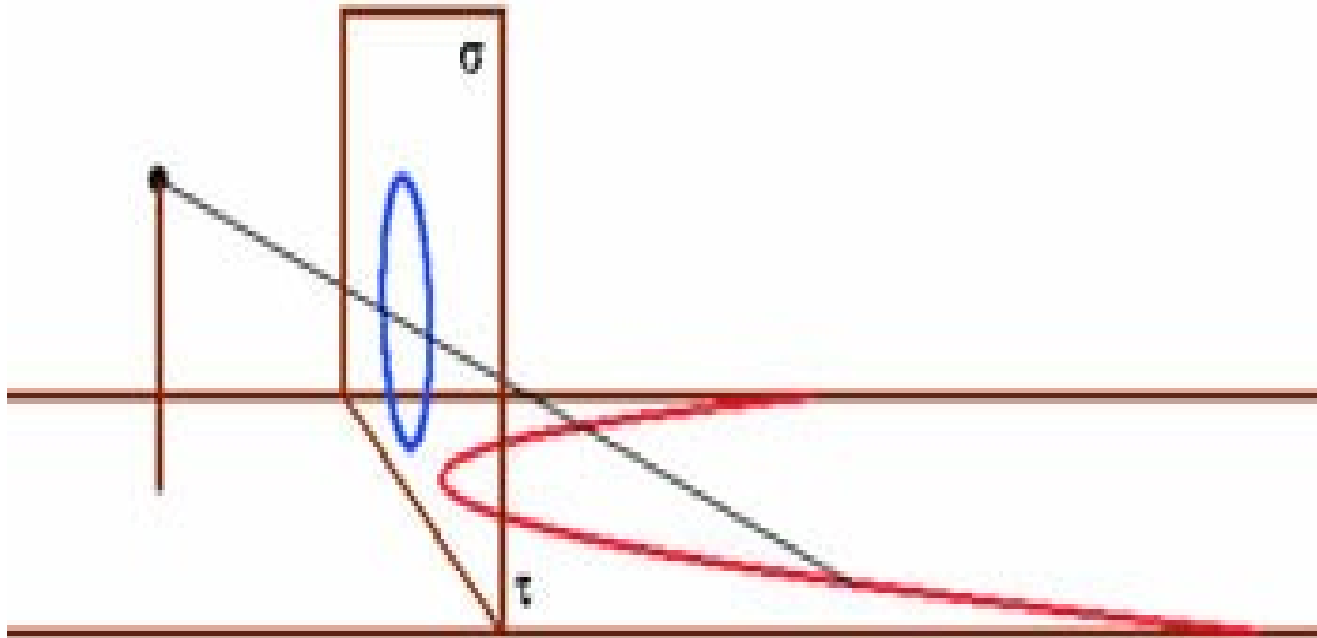
(2) Elipse

(3) Hipérbole

No espaço projetivo a reta
corresponde a um ponto!



Projeções de uma Parábola



Curvas de Bézier Racionais

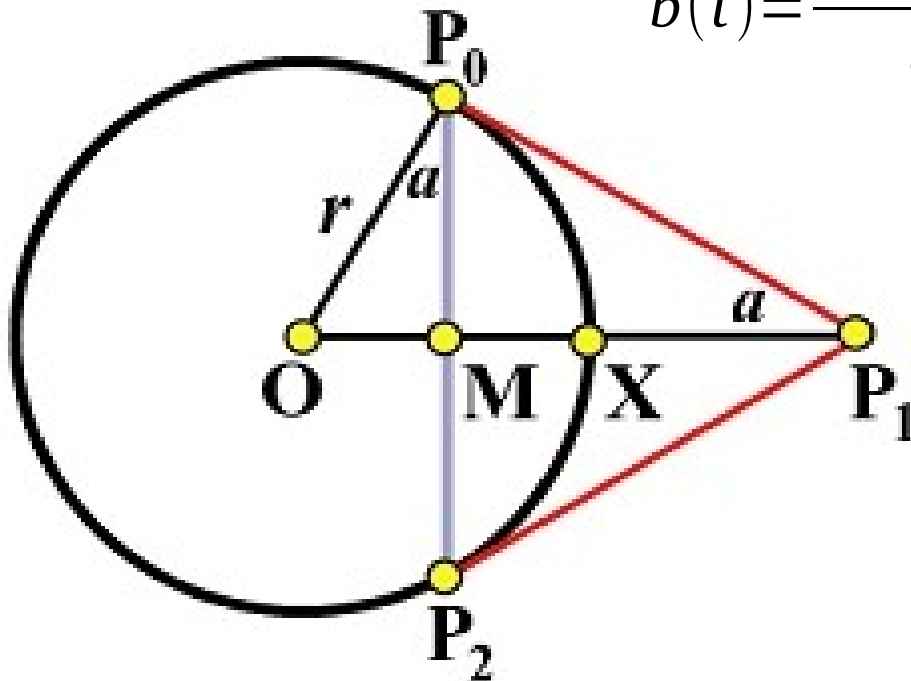
- Pontos em coordenadas homogêneas

$$\begin{pmatrix} x(t) \\ y(t) \end{pmatrix} \Rightarrow \begin{pmatrix} x(t) \\ y(t) \\ 1 \end{pmatrix} \Rightarrow \begin{pmatrix} \omega x(t) \\ \omega y(t) \\ \omega \end{pmatrix}$$

- Cônicas: projeções de curvas de Bézier quádricas em $\omega=1$:

$$b(t) = \frac{\sum_{i=0}^2 \omega_i b_i B_i^2(t)}{\sum_{i=0}^2 \omega_i B_i^2(t)} = \frac{\omega_0 b_0 B_0^2(t) + \omega_1 b_1 B_1^2(t) + \omega_2 b_2 B_2^2(t)}{\omega_0 B_0^2(t) + \omega_1 B_1^2(t) + \omega_2 B_2^2(t)}$$

Arcos Circulares



$$b(t) = \frac{\omega_0 b_0 B_0^2(t) + \omega_1 b_1 B_1^2(t) + \omega_2 b_2 B_2^2(t)}{\omega_0 B_0^2(t) + \omega_1 B_1^2(t) + \omega_2 B_2^2(t)}$$

$$\omega_0 = \omega_2 = 1; \frac{MX}{MP_1} = \frac{\omega_1}{\omega_1 + 1}$$

$$\omega_1 = \text{sen}(\alpha)$$

OpenGL

http://en.wikibooks.org/wiki/OpenGL_Programming/Modern_OpenGL_Tutorial_07

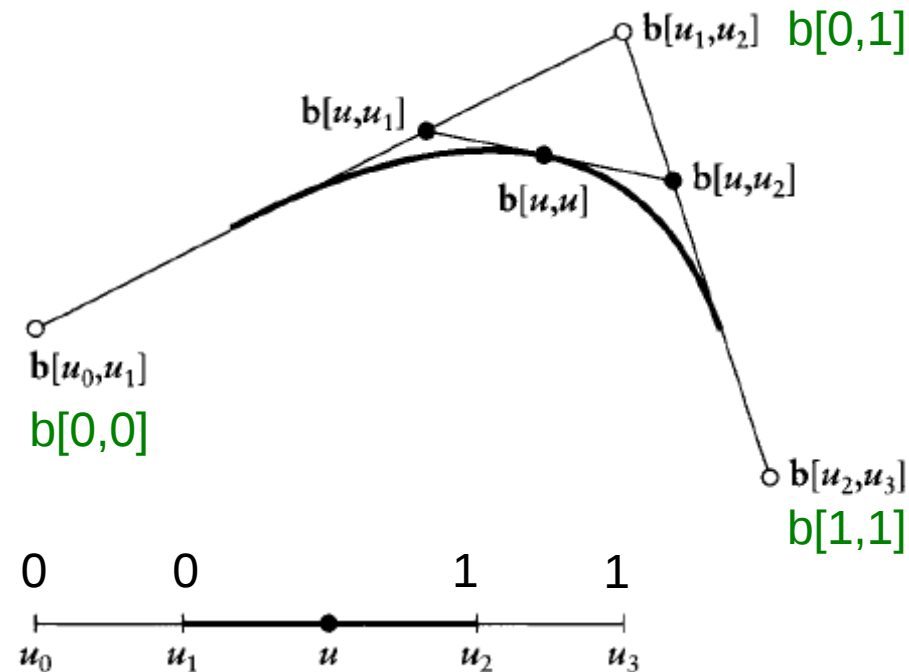
<http://www.me.berkeley.edu/~mcmains/pubs/SPM07KrishnamurthyKhardMcMains.pdf>

<http://www.informatik.uni-marburg.de/~guthe/Publications/guthe-2005-gpu-based.pdf>

<http://codeflow.org/entries/2010/nov/07/opengl-4-tessellation/>

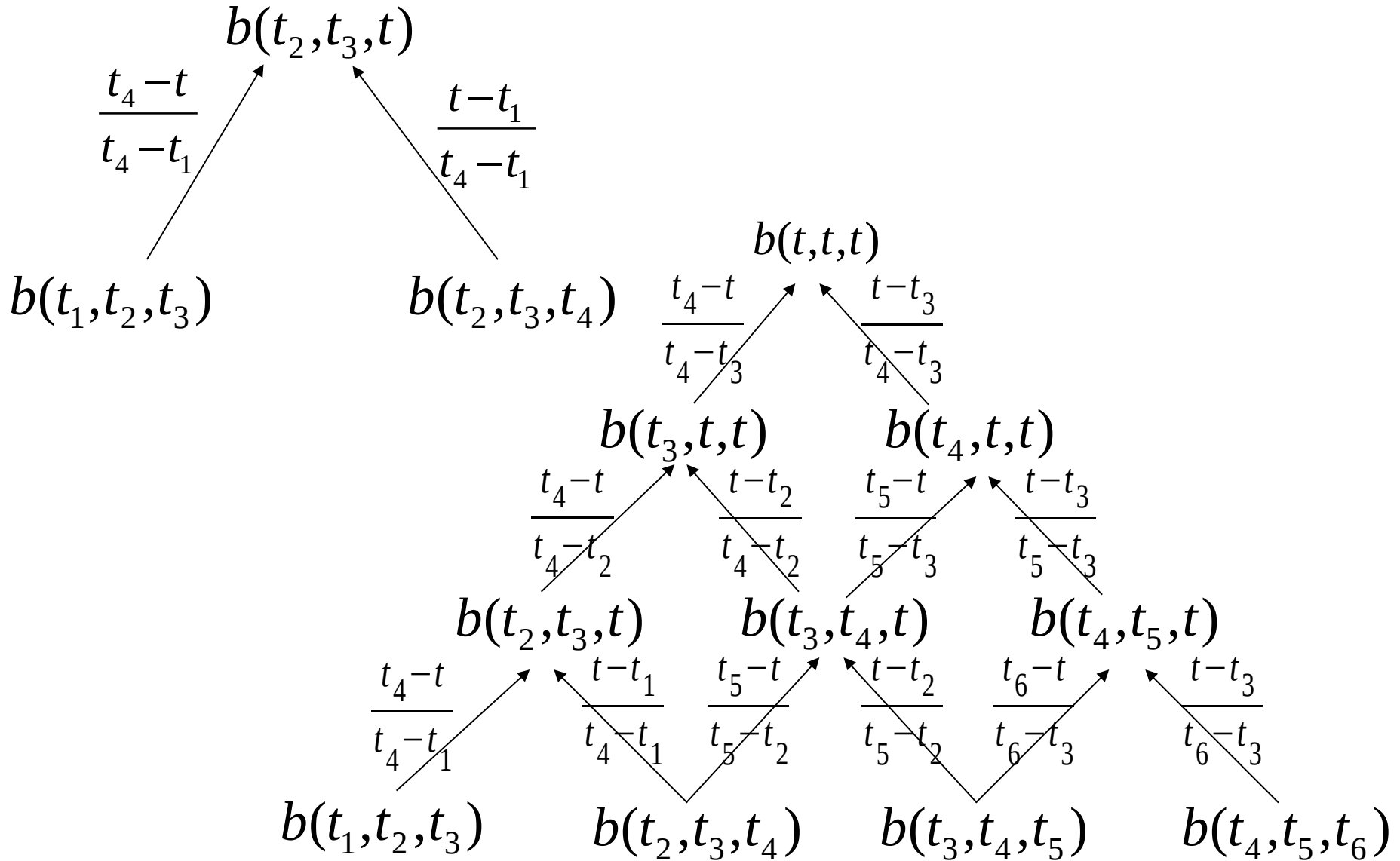
Generalização do Algoritmo de DeCasteljau

Generalização do algoritmo de DeCasteljau



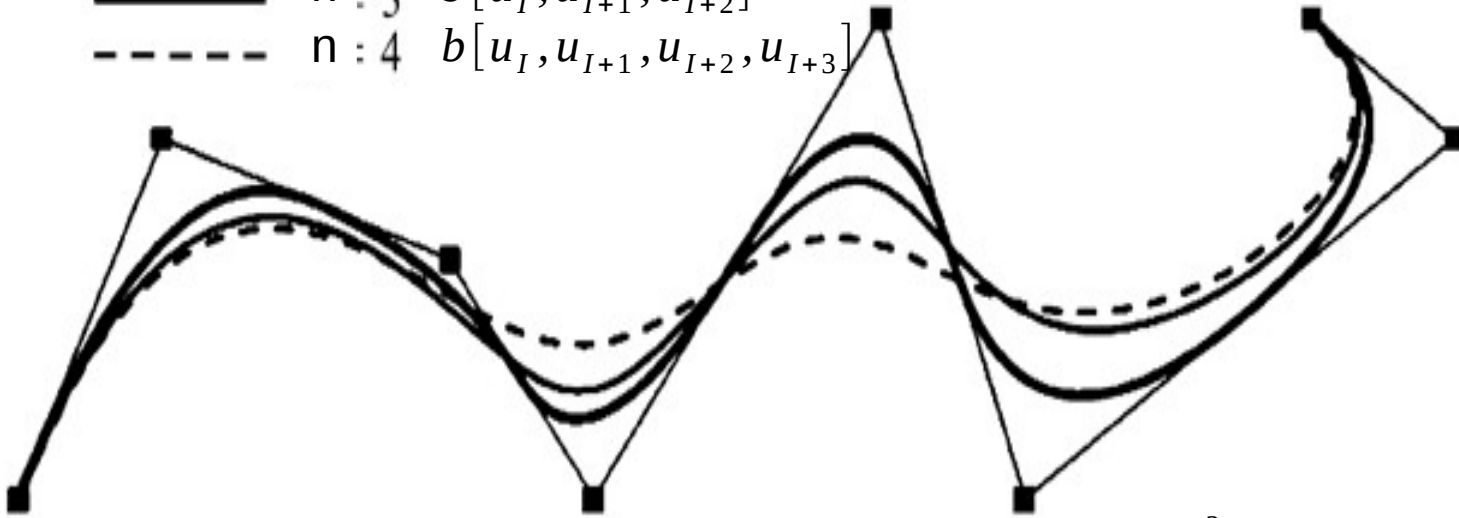
$$\begin{aligned}
 \mathbf{b}[u, u] &= \frac{u_2 - u}{u_2 - u_1} \mathbf{b}[u_1, u] + \frac{u - u_1}{u_2 - u_1} \mathbf{b}[u, u_2] \\
 &= \frac{u_2 - u}{u_2 - u_1} \left(\frac{u_2 - u}{u_2 - u_0} \mathbf{b}[u_0, u_1] + \frac{u - u_0}{u_2 - u_0} \mathbf{b}[u_1, u_2] \right) \\
 &\quad + \frac{u - u_1}{u_2 - u_1} \left(\frac{u_3 - u}{u_3 - u_1} \mathbf{b}[u_1, u_2] + \frac{u - u_1}{u_3 - u_1} \mathbf{b}[u_2, u_3] \right)
 \end{aligned}$$

Blossom por Partes



Grau das curvas

- $n : 2$ $b[u_I, u_{I+1}]$
- $n : 3$ $b[u_I, u_{I+1}, u_{I+2}]$
- - - $n : 4$ $b[u_I, u_{I+1}, u_{I+2}, u_{I+3}]$



$$b[u_I, u_{I+1}] \rightarrow D_0^2[u, u] = b[u, u], u \in [u_I, u_{I+1}]$$

$$b[u_I, u_{I+1}, u_{I+2}] \rightarrow D_0^3[u, u, u] = b[u, u, u], u \in [u_I, u_{I+1}]$$

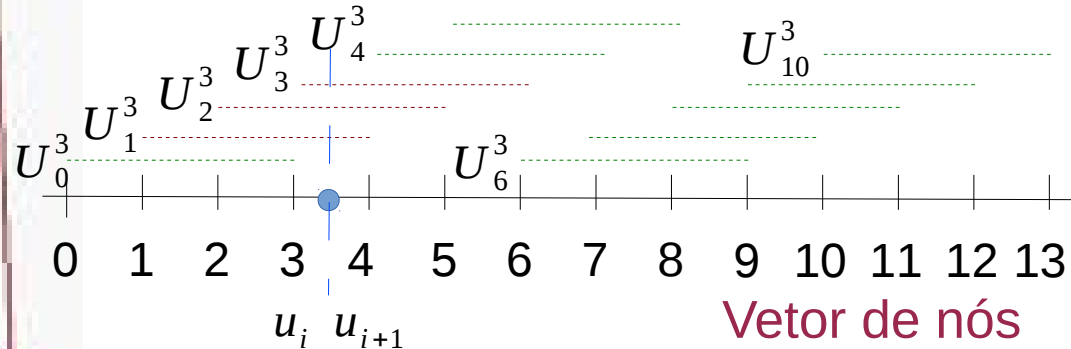
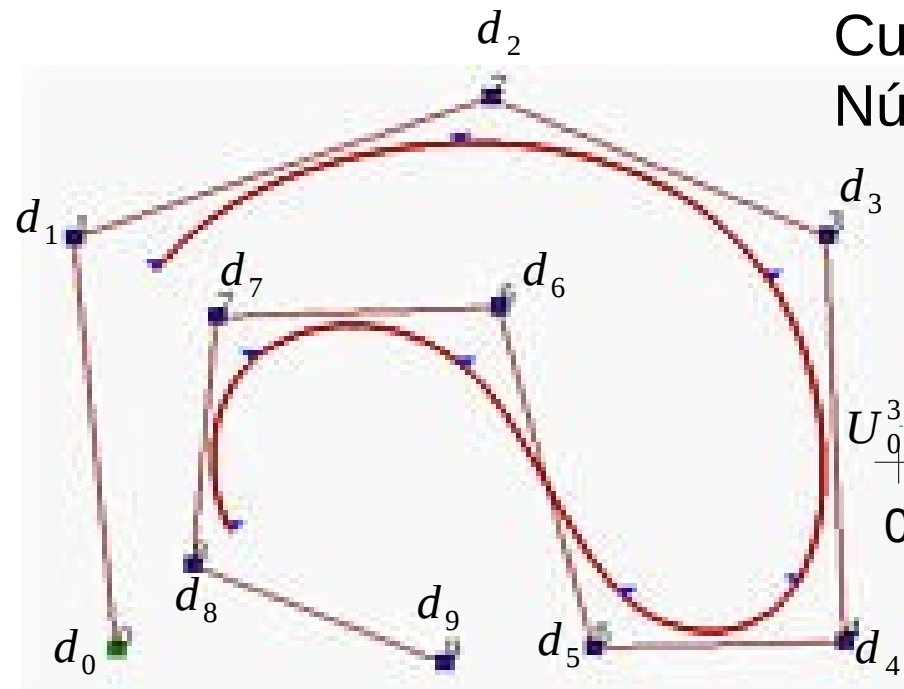
$$b[u_I, u_{I+1}, u_{I+2}, u_{I+3}] \rightarrow D_0^4[u, u, u, u] = b[u, u, u, u], u \in [u_I, u_{I+1}]$$

$$D_i^k(u) = \frac{u_{I+i} - u}{u_{I+i} - u_{I+i-k}} D_i^{k-1}(u) + \frac{u - u_{I+i-k}}{u_{I+i} - u_{I+i-k}} D_{i+1}^{k-1}(u)$$

Algoritmo de De Boor

Curva Cúbica: $n = 3$

Número de pontos de controle: $L+1 = 10$



$$d_0 = D_0^0 = b[1,2,3]$$

← d_j , onde $j = i-n$

$$d_1 = D_1^0 = b[2,3,4] \quad D_0^1 = b[u, 2,3]$$

$$d_2 = D_2^0 = b[3,4,5] \quad D_1^1 = b[u, 3,4] \quad D_0^2 = b[u, u, 3]$$

$$d_3 = D_3^0 = b[4,5,6] \quad D_2^1 = b[u, 4,5] \quad D_1^2 = b[u, u, 4] \quad D_0^3 = b[u, u, u]$$

Exemplo

$$n=2; b[1,2]=\begin{bmatrix} 0 \\ 0 \end{bmatrix}, b[2,3]=\begin{bmatrix} 8 \\ 8 \end{bmatrix}, b[3,4]=\begin{bmatrix} 8 \\ 0 \end{bmatrix}$$

$$b[2.5,2.5]=?$$

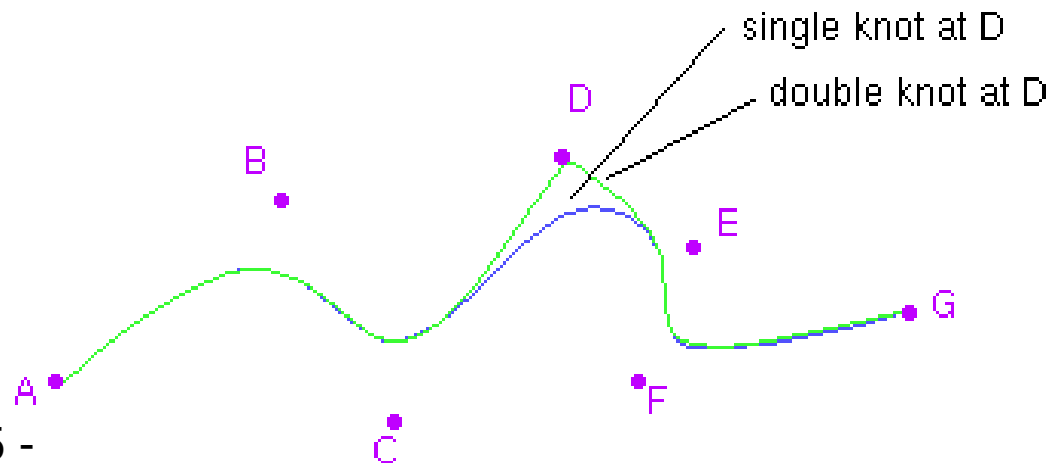
$$b[2,2.5]=\frac{(3-2.5)}{(3-1)}\begin{bmatrix} 0 \\ 0 \end{bmatrix}+\frac{(2.5-1)}{(3-1)}\begin{bmatrix} 8 \\ 8 \end{bmatrix}=\begin{bmatrix} 6 \\ 6 \end{bmatrix}$$

$$b[2.5,3]=\frac{(4-2.5)}{(4-2)}\begin{bmatrix} 8 \\ 8 \end{bmatrix}+\frac{(2.5-2)}{(4-2)}\begin{bmatrix} 8 \\ 0 \end{bmatrix}=\begin{bmatrix} 8 \\ 6 \end{bmatrix}$$

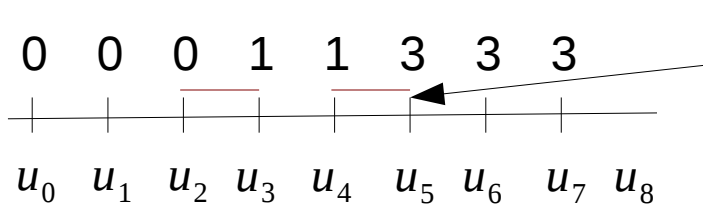
$$b[2.5,2.5]=\frac{(3-2.5)}{(3-2)}\begin{bmatrix} 6 \\ 6 \end{bmatrix}+\frac{(2.5-2)}{(3-2)}\begin{bmatrix} 8 \\ 6 \end{bmatrix}=\begin{bmatrix} 7 \\ 6 \end{bmatrix}$$

Multiplicidade de Nós

- Curvas **uniformes**: domínios com intervalos igualmente espaçados.
- Curvas **não-uniformes**: domínios com intervalos diferentes.
- Multiplicidade r altera a suavidade das curvas e pode gerar cúspides.



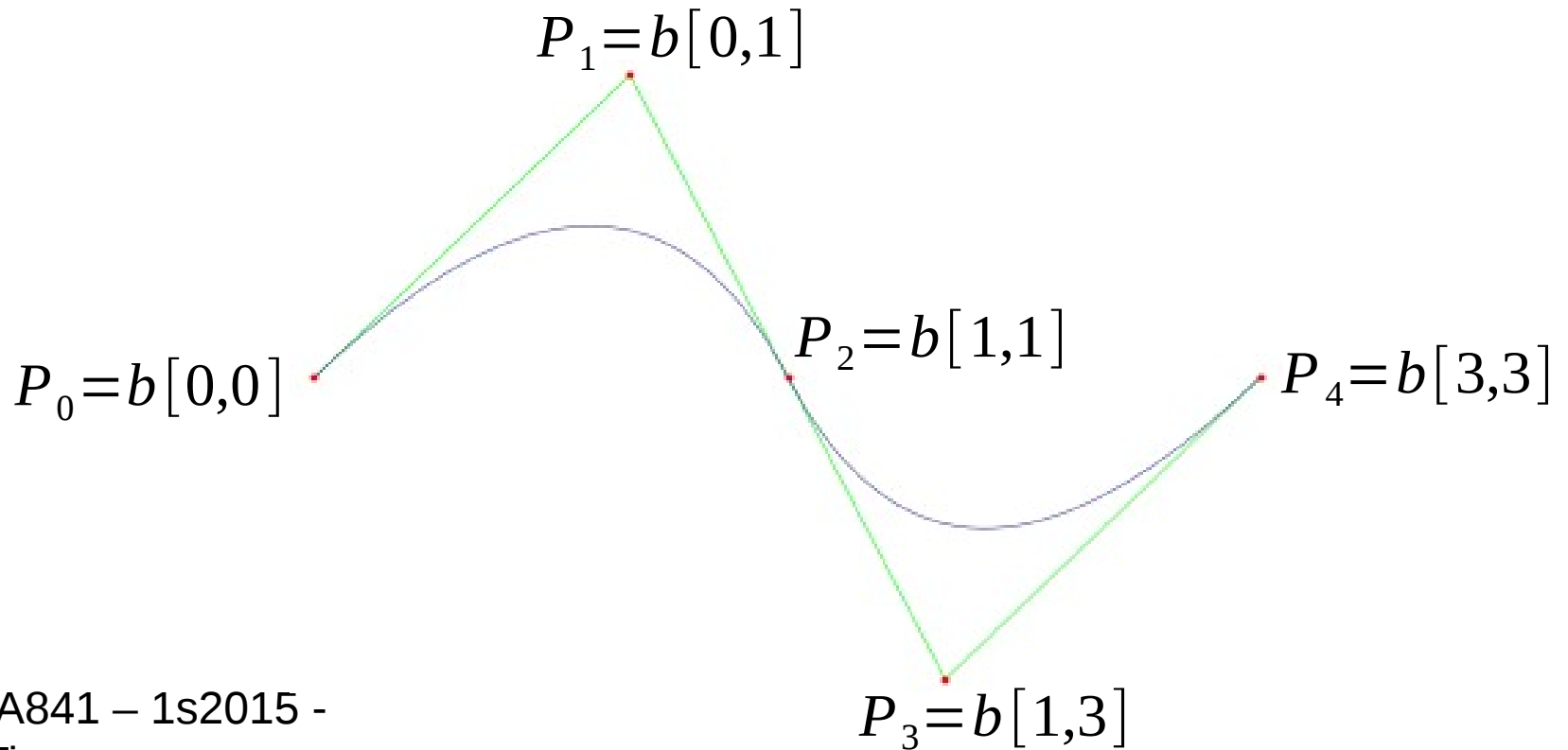
Exemplo: $n=2$



Intervalos efetivos para algoritmo de Boor

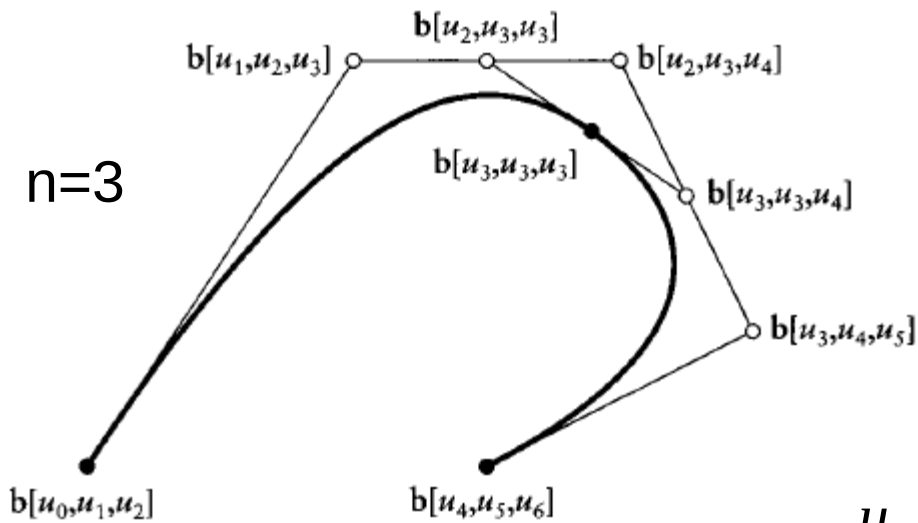
$$u \in [u_2, u_3): P_0; P_1; P_2$$

$$u \in [u_4, u_5): P_2; P_3; P_4$$



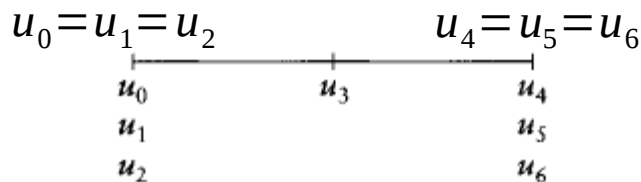
Suavidade

- Continuidade $C^k \leftrightarrow$ derivabilidade até ordem k .
- Curva de grau n tem continuidade C^{n-1} .
- Continuidade C^{n-r} em nós de multiplicidade r (derivável até ordem $n-r$).



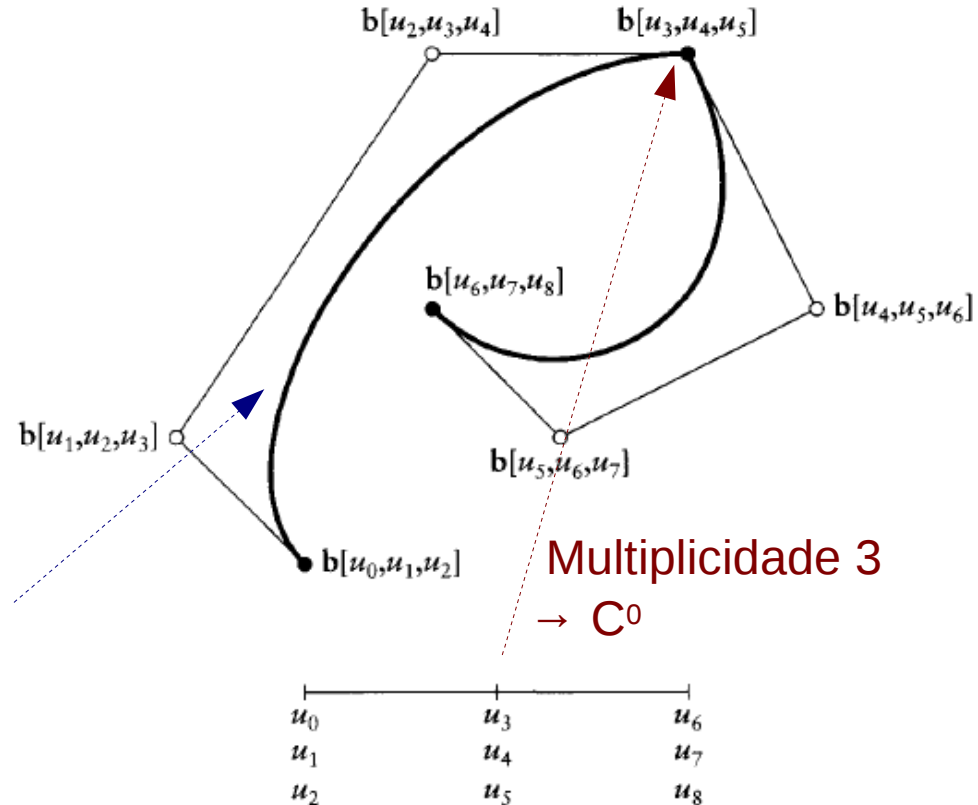
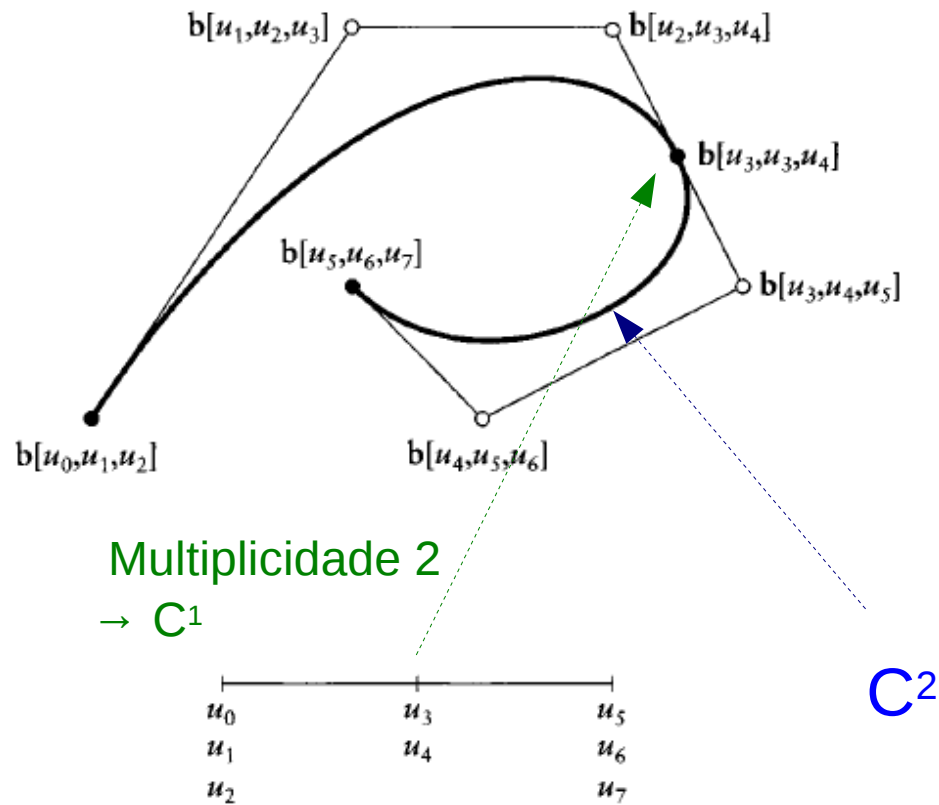
Convenção: $\frac{0}{0} = 0$

$$D_i^k(u) = \frac{u_{I+i} - u}{u_{I+i} - u_{I+i-k}} D_i^{k-1}(u) + \frac{u - u_{I+i-k}}{u_{I+i} - u_{I+i-k}} D_{i+1}^{k-1}(u)$$



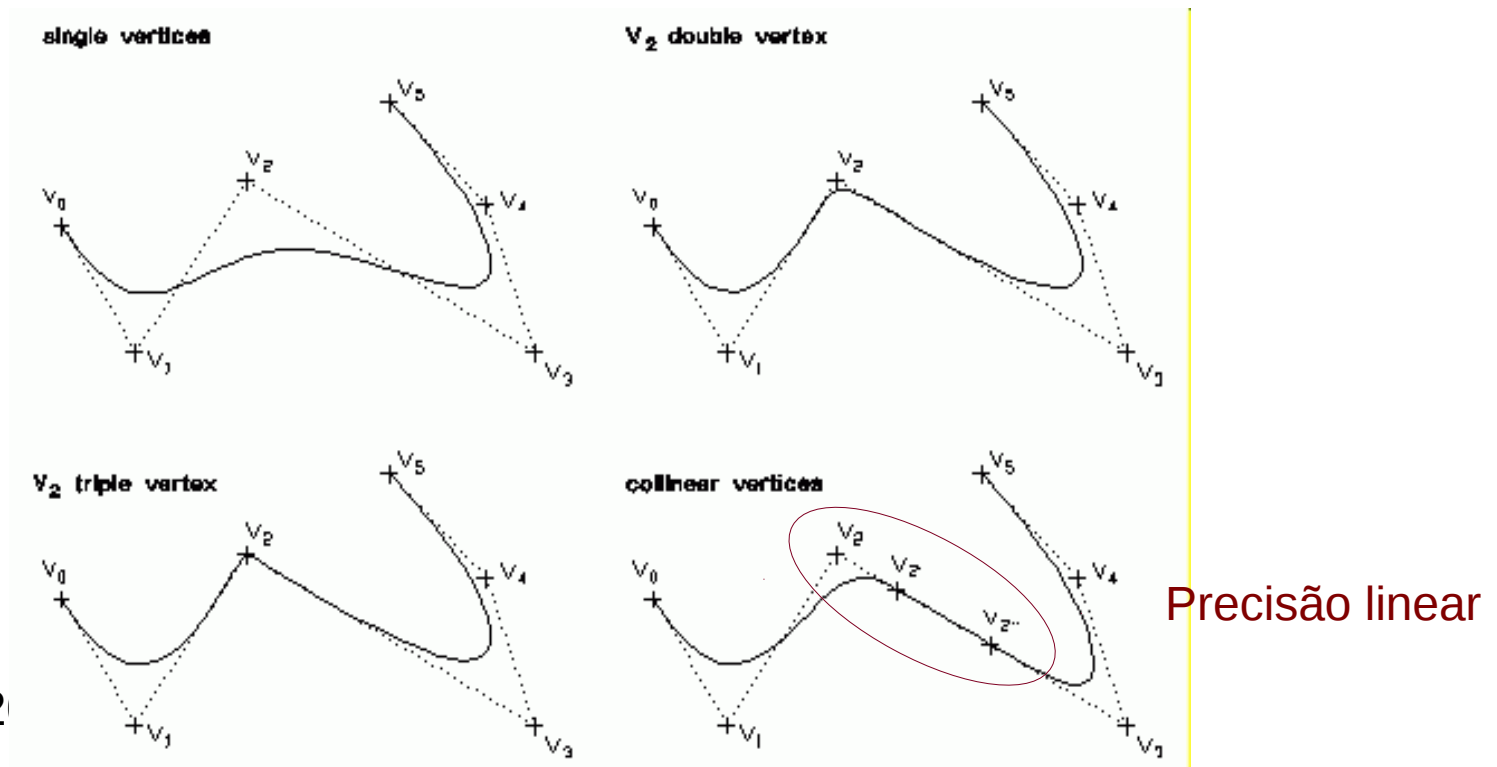
Cúspides

Curvas cúbicas ($k=4$ e $n=3$)

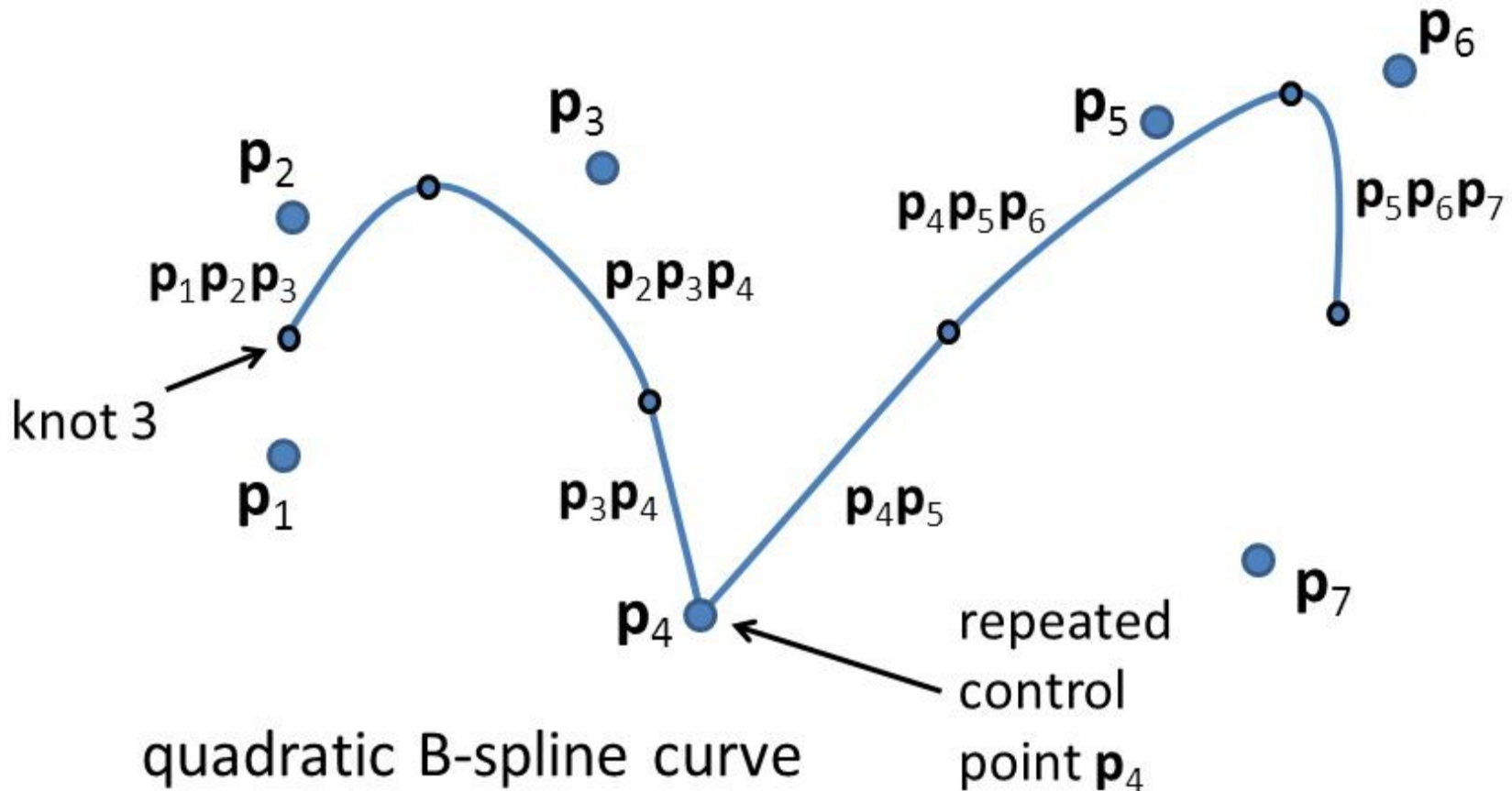


Multiplicidade de pontos de controle

- Curva se aproxima mais dos pontos de controle múltiplos. Quando a multiplicidade é n , a curva de grau n passa pelo ponto.



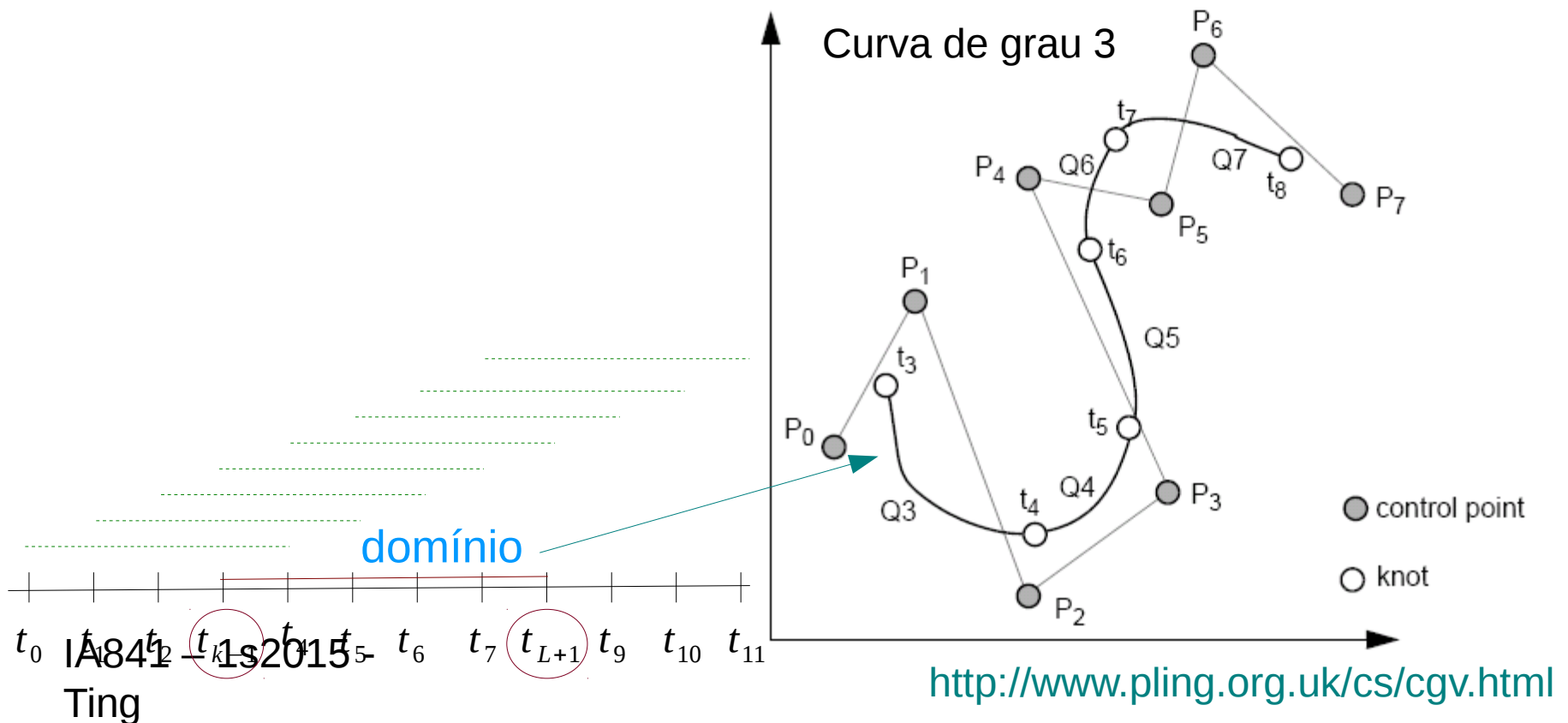
Repeating control points in B-spline curves



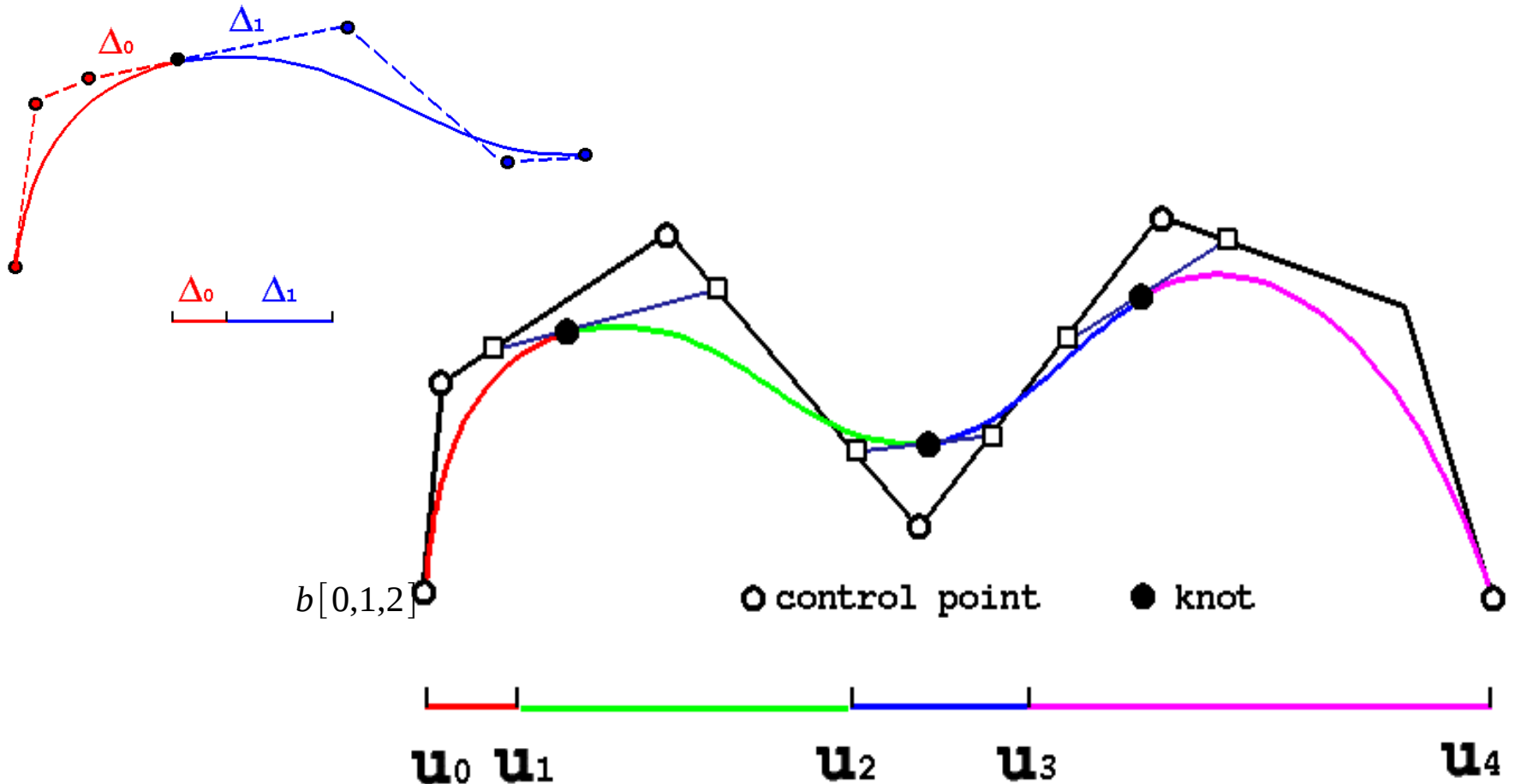
quadratic B-spline curve
with repeated control point

B-Splines

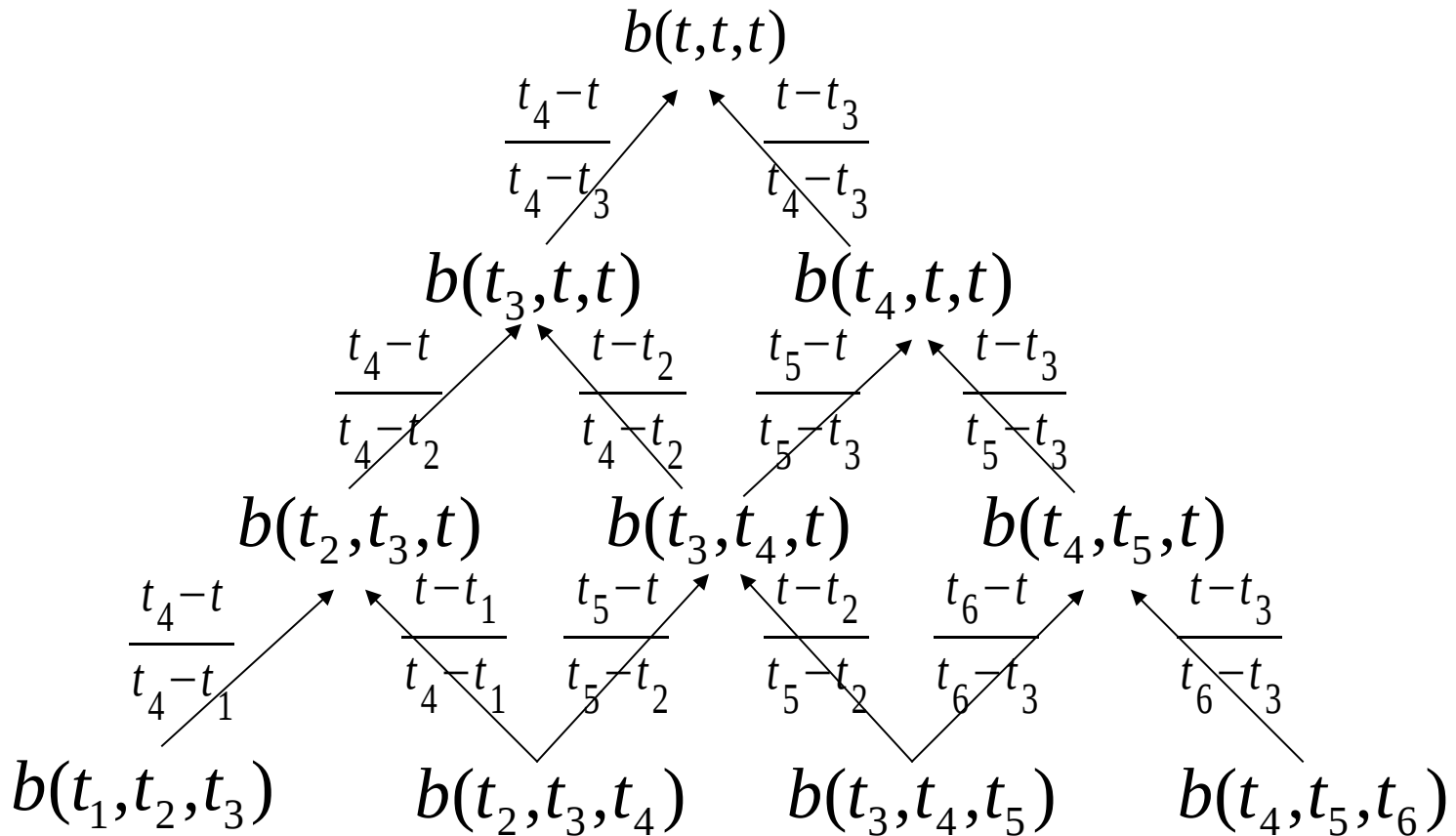
- Segmentos de curvas de grau $n \rightarrow$ Ordem: $k=n+1$
- Número de pontos de controle: $L+1 = K-n+1$
- Número de nós: $K+1$



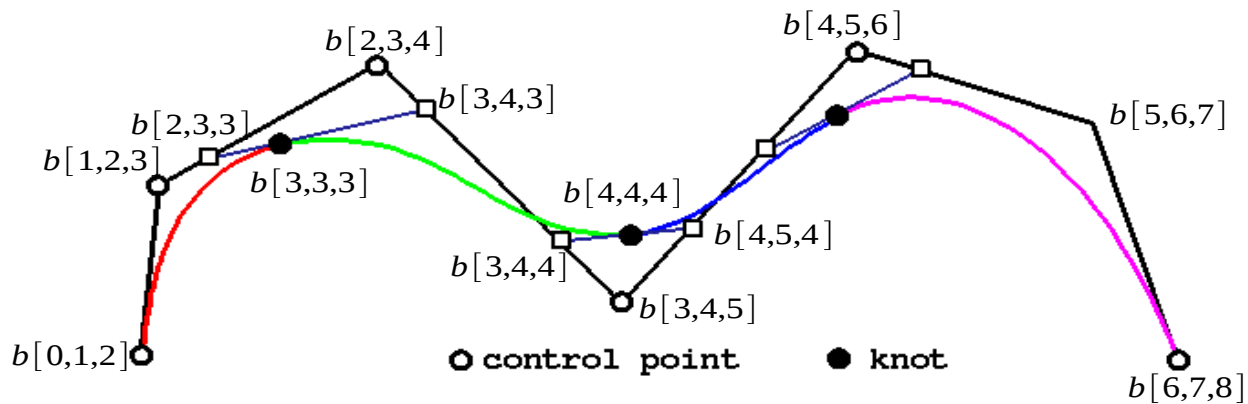
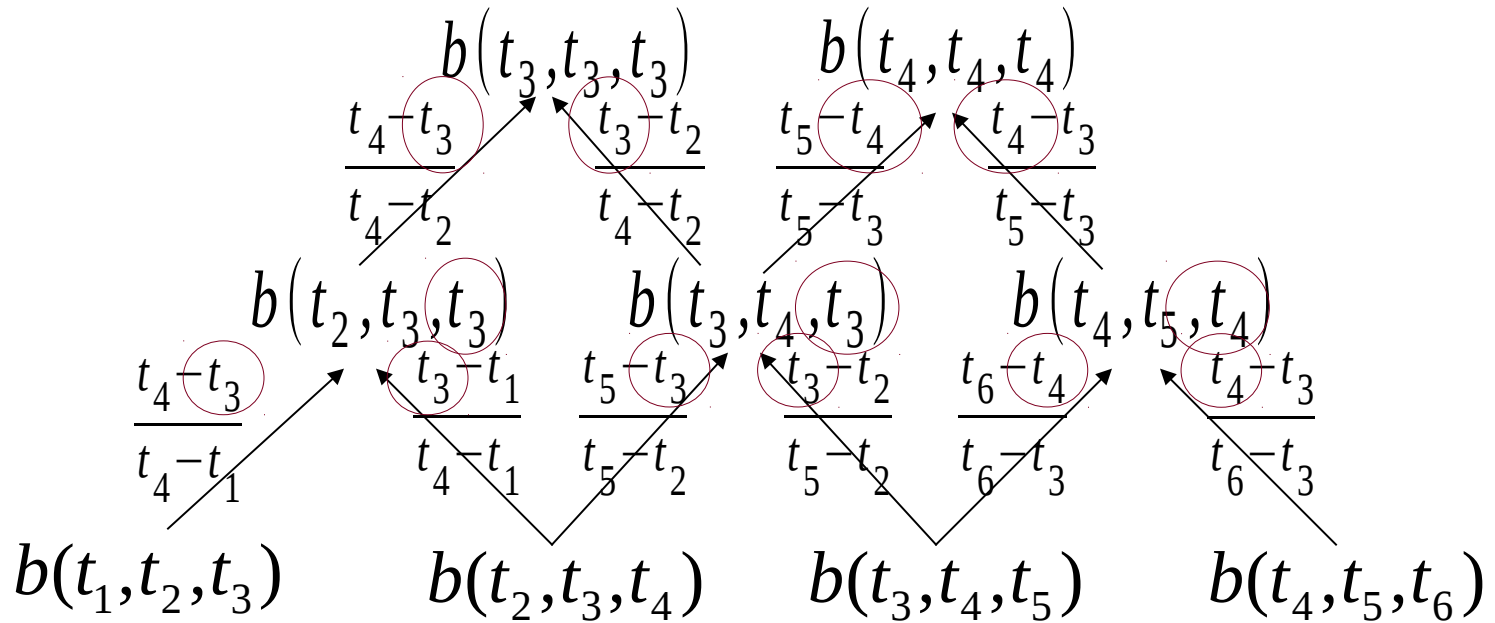
Splines de curvas de Bézier



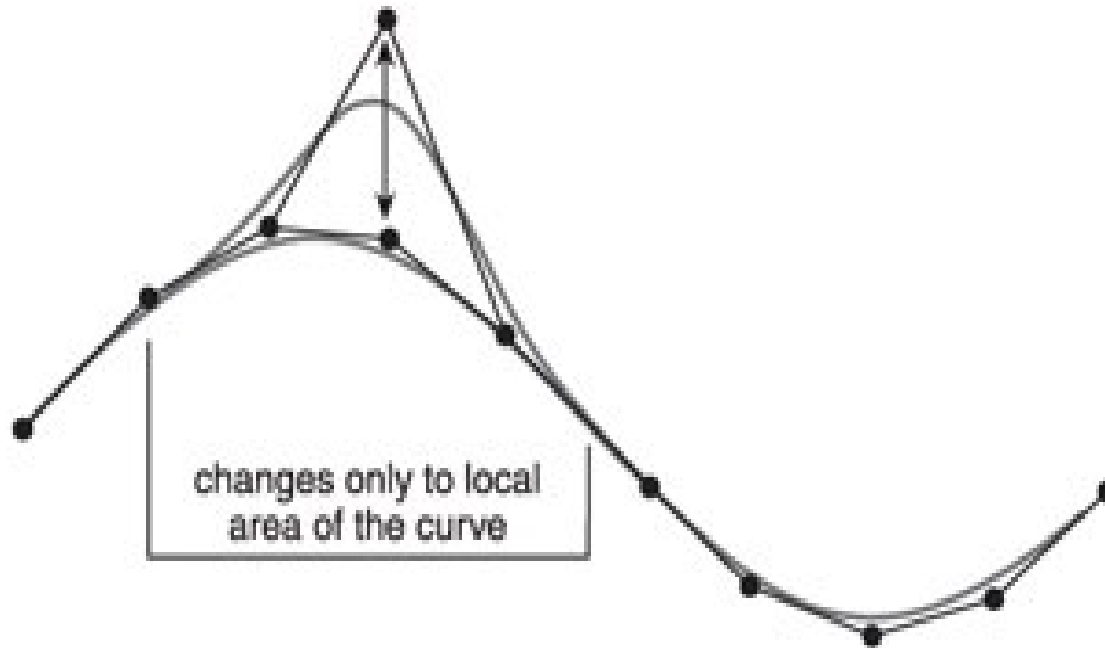
Na Forma de *Blossom*



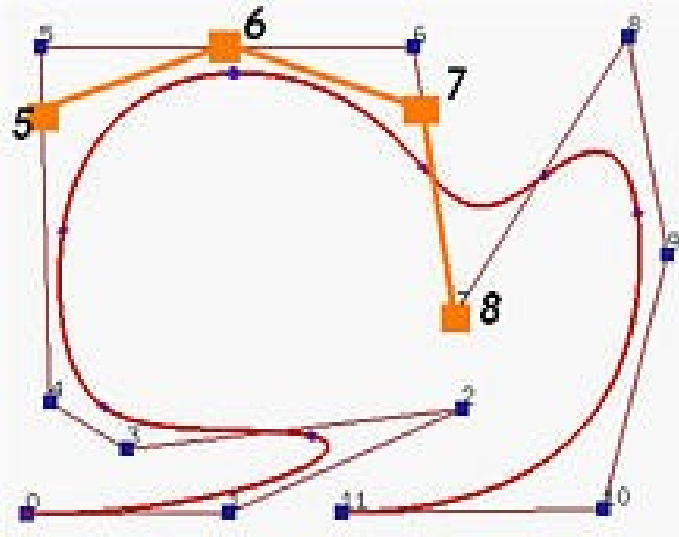
Na Forma de *Blossom*



Controle Local



Inserção de Nós



$$(4) = b[4,5,6]$$

$$(5) = b[5,6,7]$$

$$(6) = b[6,7,8]$$

$$(7) = b[7,8,9]$$

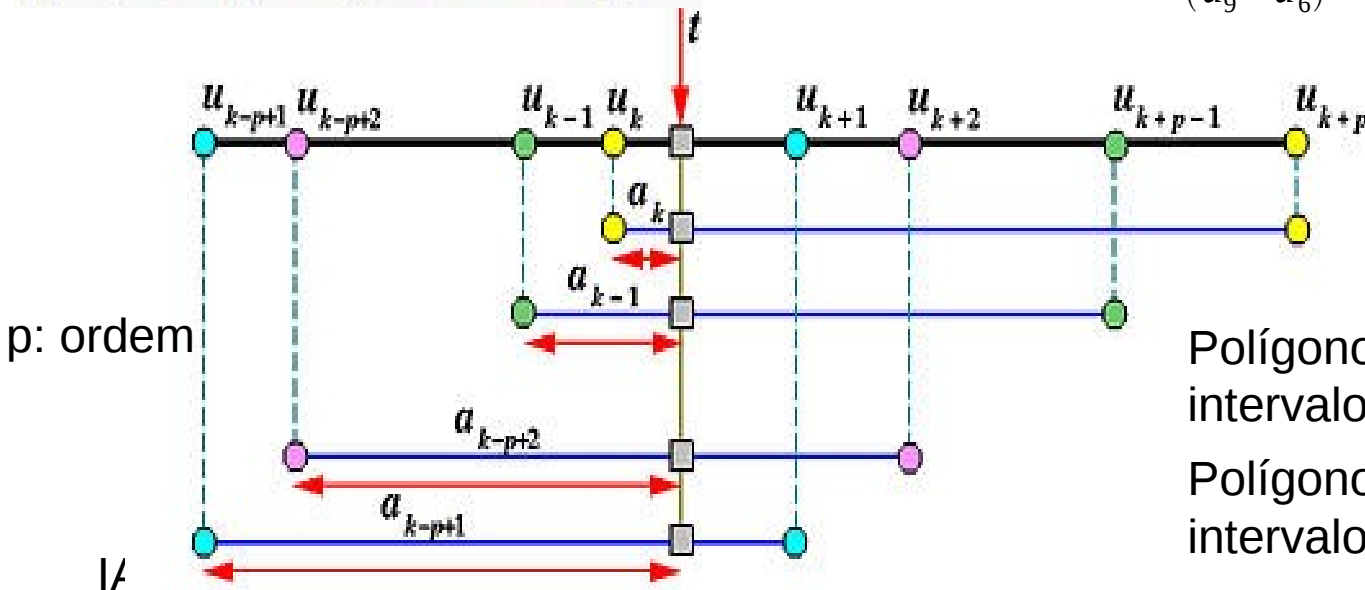
$$(8) = b[8,9,10]$$

$$N5 = \frac{(u_6 - t)}{(u_6 - u_3)} b[4,5,6] + \frac{(t - u_3)}{(u_6 - u_3)} b[5,6,7]$$

$$N6 = \frac{(u_7 - t)}{(u_7 - u_4)} b[5,6,7] + \frac{(t - u_4)}{(u_7 - u_4)} b[6,7,8]$$

$$N7 = \frac{(u_8 - t)}{(u_8 - u_5)} b[6,7,8] + \frac{(t - u_5)}{(u_8 - u_5)} b[7,8,9]$$

$$N8 = \frac{(u_9 - t)}{(u_9 - u_6)} b[7,8,9] + \frac{(t - u_6)}{(u_9 - u_6)} b[8,9,10]$$



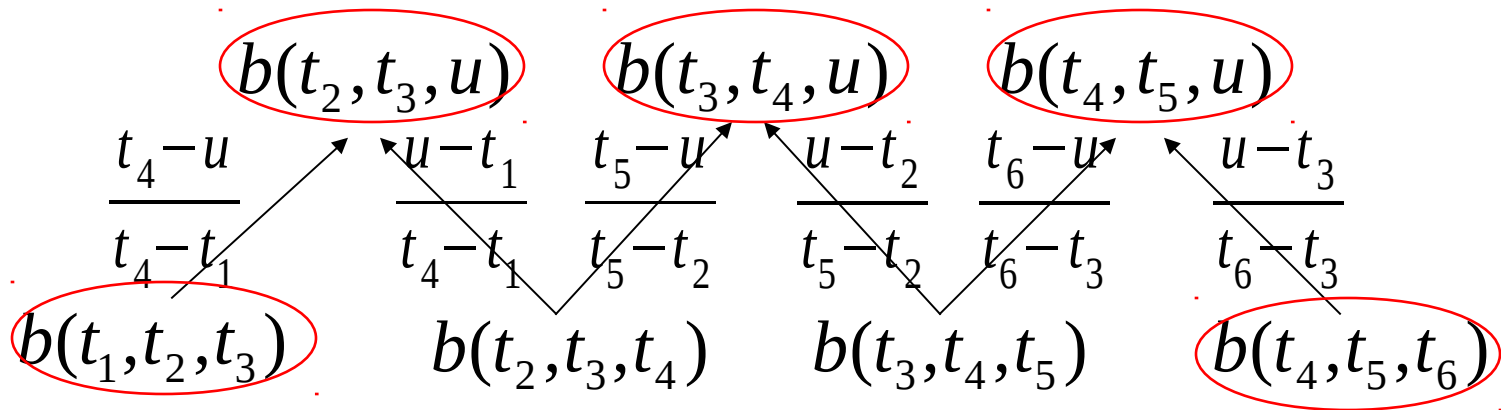
p: ordem

Polígono de controle para o intervalo $[u_k, t)$: (4)N5N6N7

Polígono de controle para o intervalo $[t, u_{k+1})$: N5N6N7N8

Algoritmo de Boehm

$$t_3 \leq u \leq t_4$$



Funções de Base

- Grau: n ; *Order*: $n+1$
- Vetor de nós: $\{u_0, u_1, u_2, \dots, u_K\}$
- Intervalo de suporte mínimo: $[u_{i-1}, u_{i+n})$

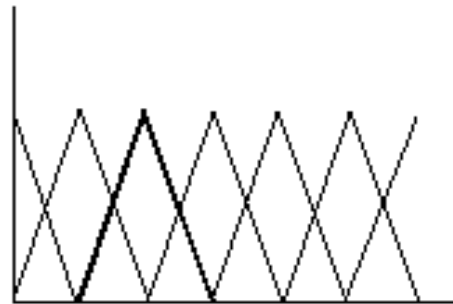
$$N_l^n(u) = \frac{u - u_l}{u_{l+n} - u_l} N_l^{n-1}(u) + \frac{u_{l+n+1} - u}{u_{l+n+1} - u_{l+1}} N_{l+1}^{n-1}(u)$$

$$N_i^0(u) = \begin{cases} 1, & \text{se } u_i \leq u < u_{i+1} \\ 0, & \text{caso contrário} \end{cases}$$

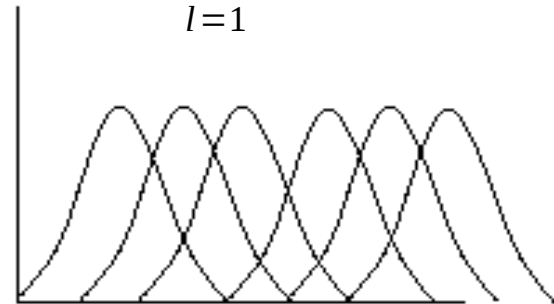
$$\sum_{l=1}^{n+1} N_l^n(u) = 1$$



Order 1 b-splines



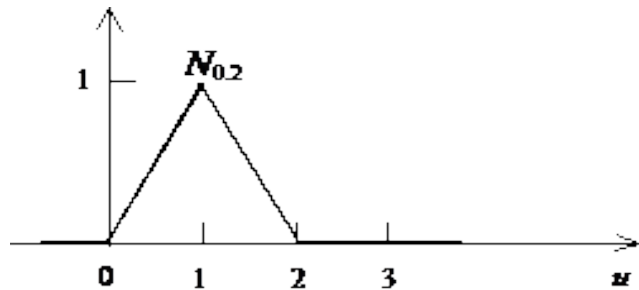
Order 2 b-splines



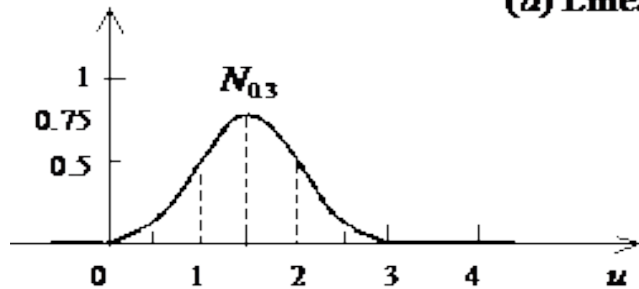
Order 3 b-splines

Funções de Base Uniforme

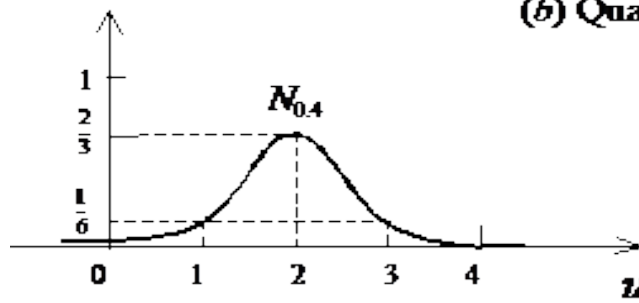
Vetor de nós igualmente espaçados $\{0,1,2,3,4,5,6,\dots\}$



(a) Linear function ($k=2$)



(b) Quadratic function ($k=3$)



(c) Cubic function ($k=4$)

$N_i^n(t)$ definidas por partes!

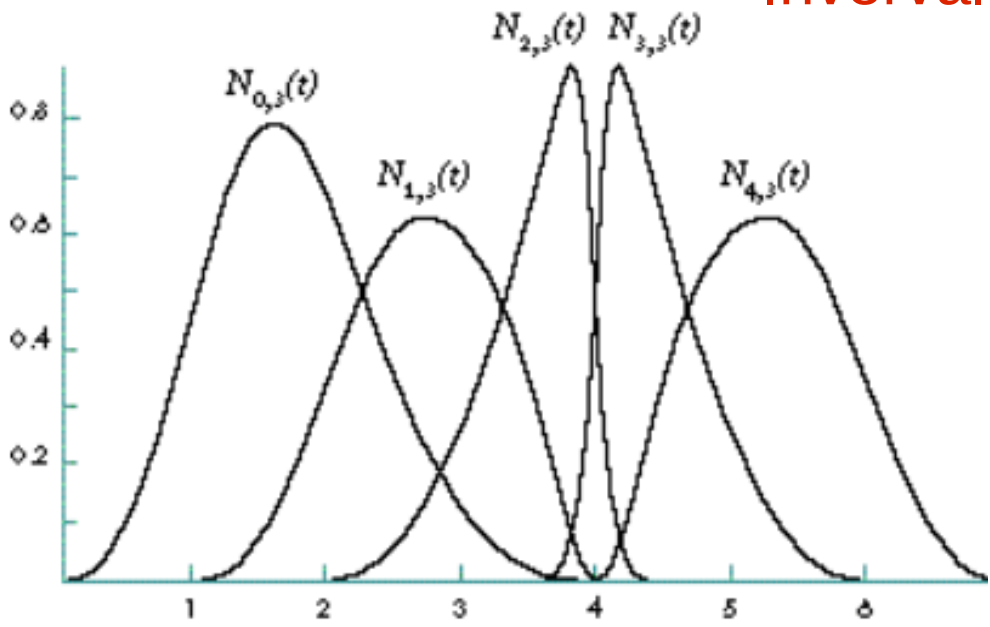
$$N_0^1(u) = \frac{u-u_0}{u_1-u_0} N_0^0(u) + \frac{u_1-u}{u_2-u_1} N_1^0(u)$$

$$N_0^1(u) = \begin{cases} \frac{u-u_0}{u_1-u_0} N_0^0(u), & u_0 \leq u < u_1 \\ \frac{u_2-u}{u_2-u_1} N_1^0(u), & u_1 \leq u < u_2 \end{cases}$$

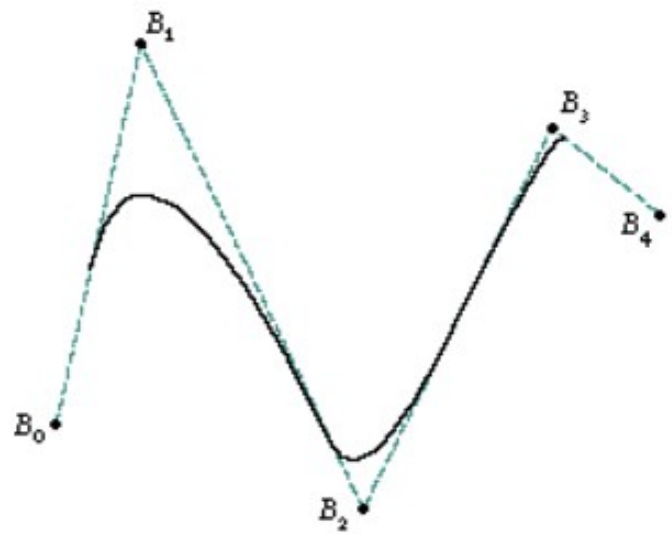
0, caso contrário

Funções de Base Não-Uniformes

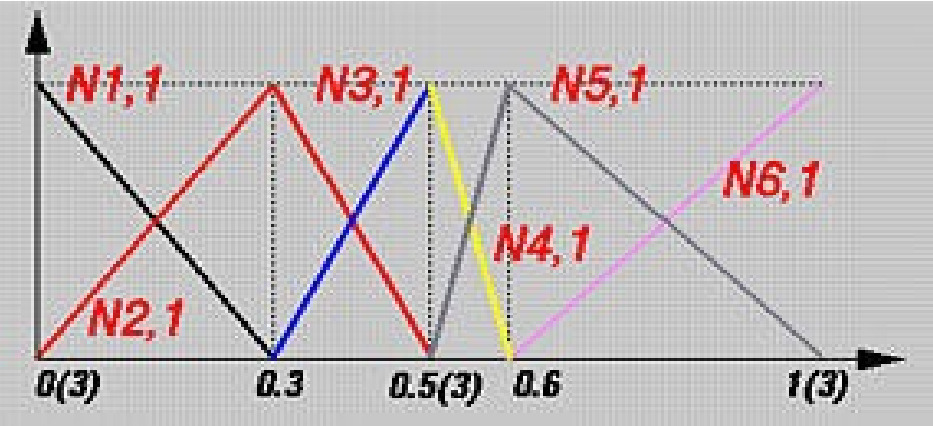
Invervalos não-nulos e não-uniformes



{0,1.0, 2.0, 3.75, 4.0, 4.25, 6.0, 7.0}

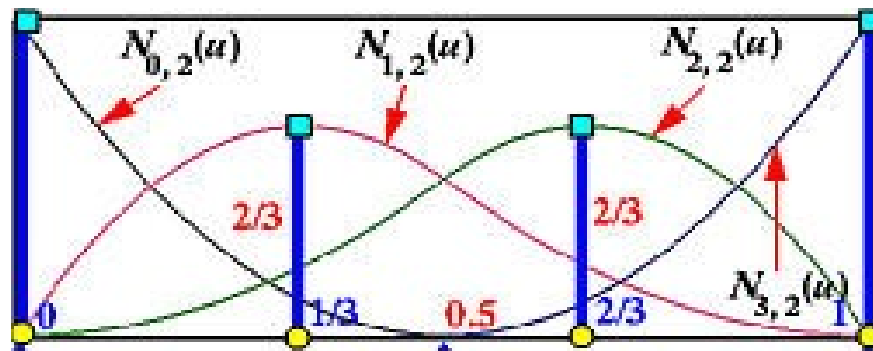
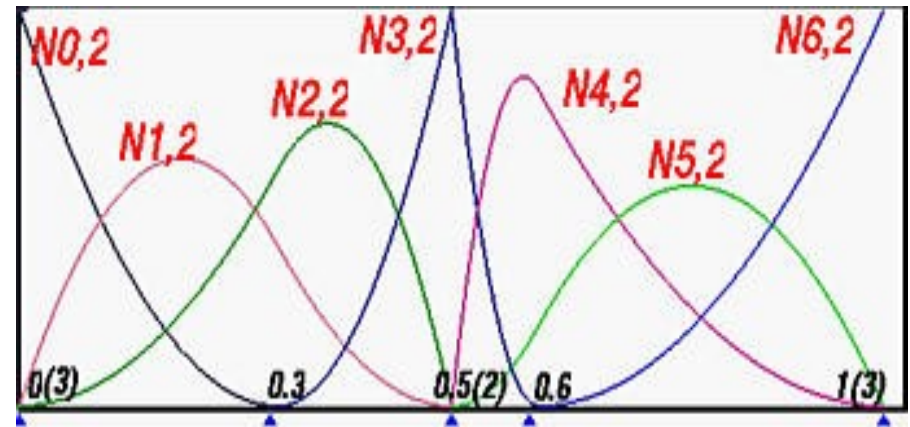


Funções de Base Não-Uniformes



{0,0,0,0.3,0.5,0.5,0.6,1,1,1}

Intervalos nulos →
multiplicidade de nós



{0,0,0,0.5,1,1,1}

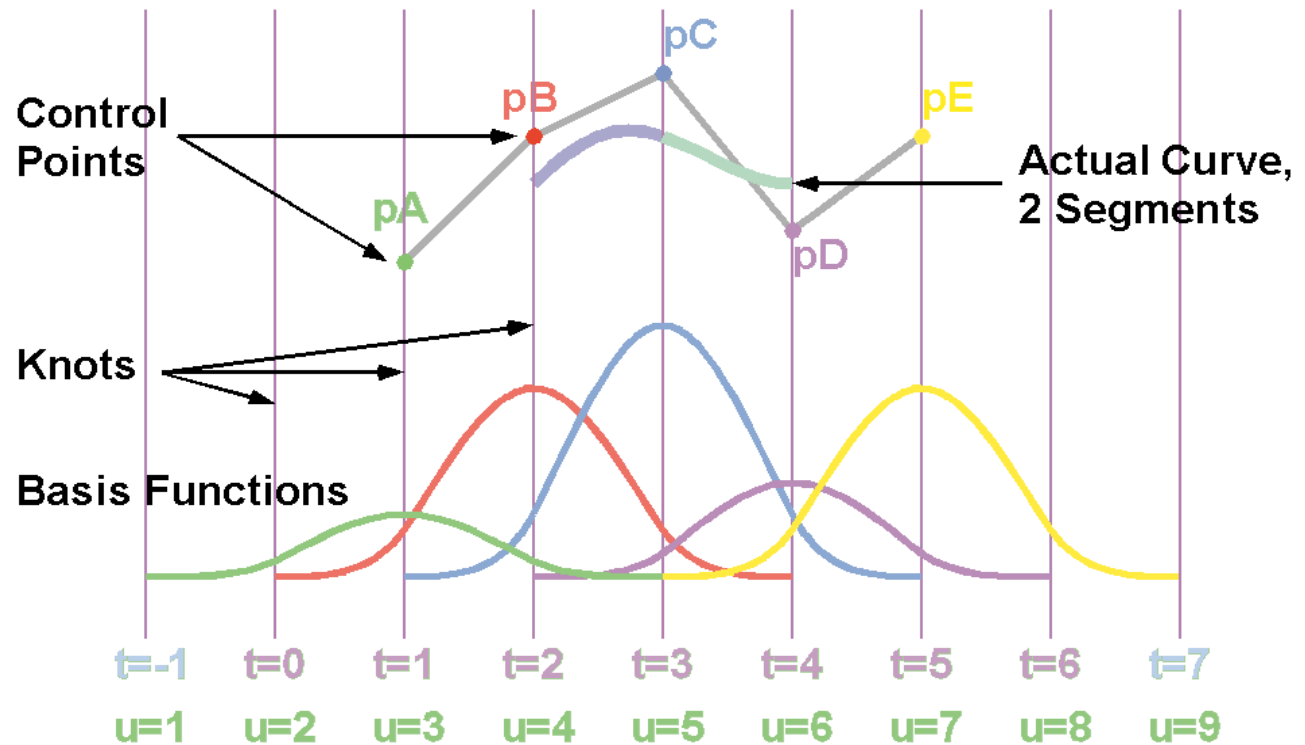
Representação Algébrica de *B-Splines*

$$P(u) = \sum_{j=0}^L d_j N_j^n(u)$$

$$P(t) = \sum_{j=0}^L d_j N_j^n(t)$$

$$P(u-2) = P(t)$$

Cubic (4-th Order) B-Spline Basics



SLIDE: order 4; controlpointlist (pA pB pC pD pE); {uses knots 9}

Grau: n

Ordem: k = n+1

Número de pontos

de controle: L+1

Qtde de nós:

K+1=L+n+2

Exemplo Numérico

$$P(u) = \begin{bmatrix} 0 \\ 0 \end{bmatrix} N_0^3(u) + \begin{bmatrix} 8 \\ 8 \end{bmatrix} N_1^3(u) + \begin{bmatrix} 8 \\ 0 \end{bmatrix} N_2^3(u)$$

$$P(2.5) = ?$$

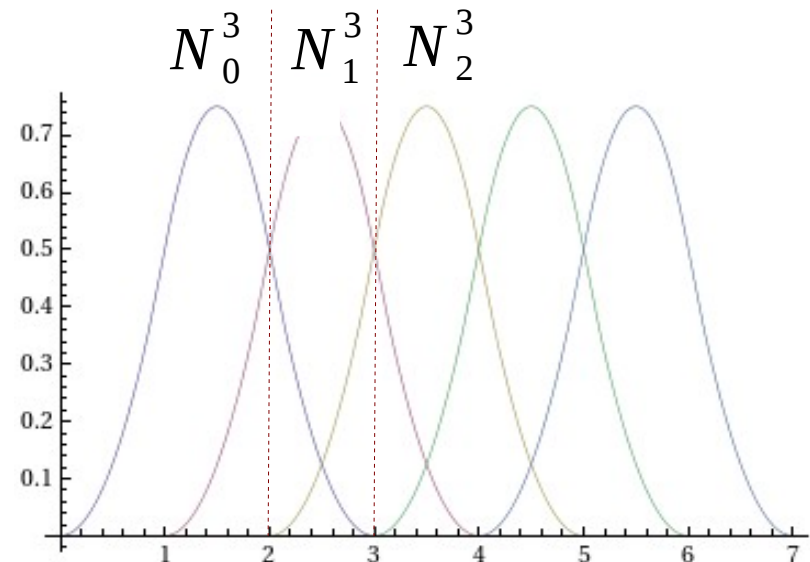
$$N_0^3(u) = \frac{(3-u)^2}{2} \quad N_1^3(u) = \frac{(u-1)(3-u)}{2} + \frac{(4-u)(u-2)}{2} \quad N_2^3(u) = \frac{(u-2)^2}{2}$$

$$N_0^3(2.5) = 0.125$$

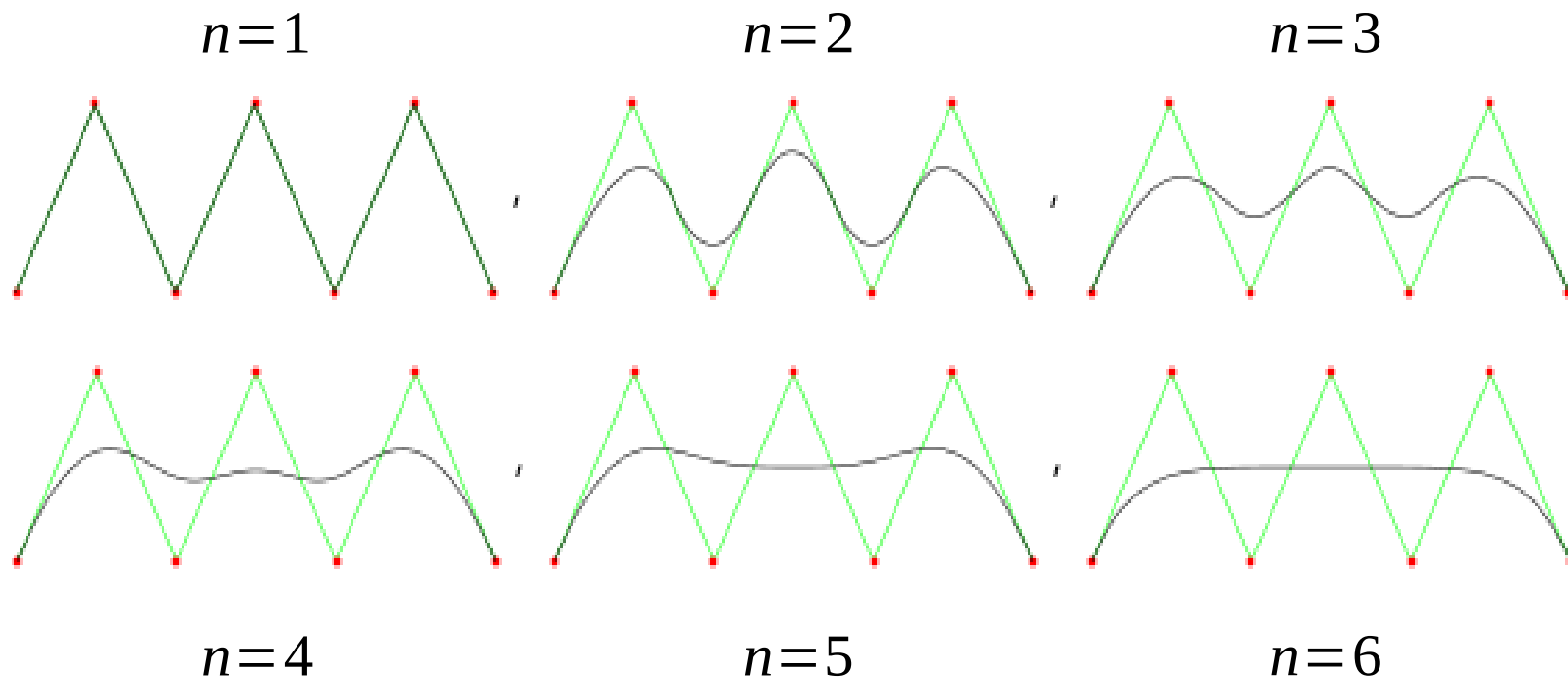
$$N_1^3(2.5) = 0.75$$

$$N_2^3(2.5) = 0.125$$

$$P(2.5) = \begin{bmatrix} 7 \\ 6 \end{bmatrix}$$

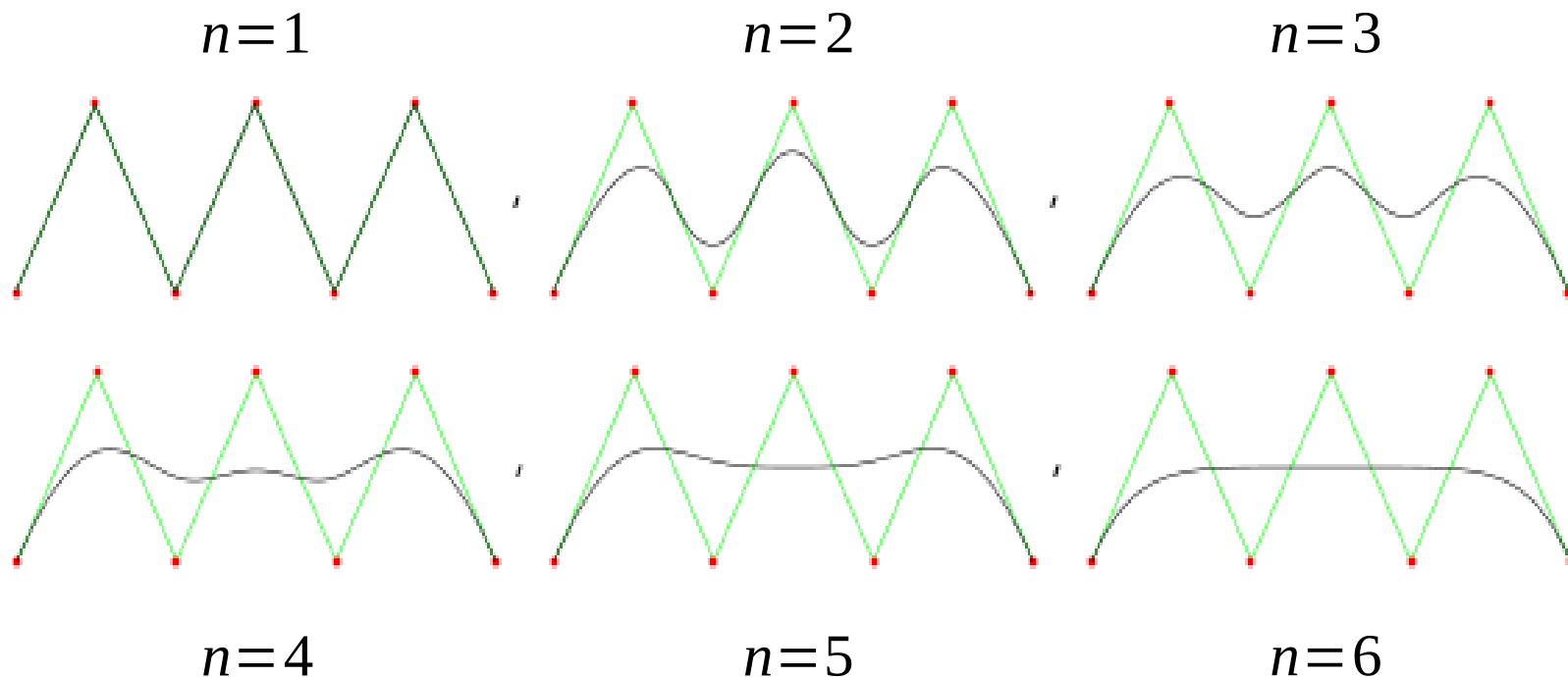


Influência do Grau nas curvas



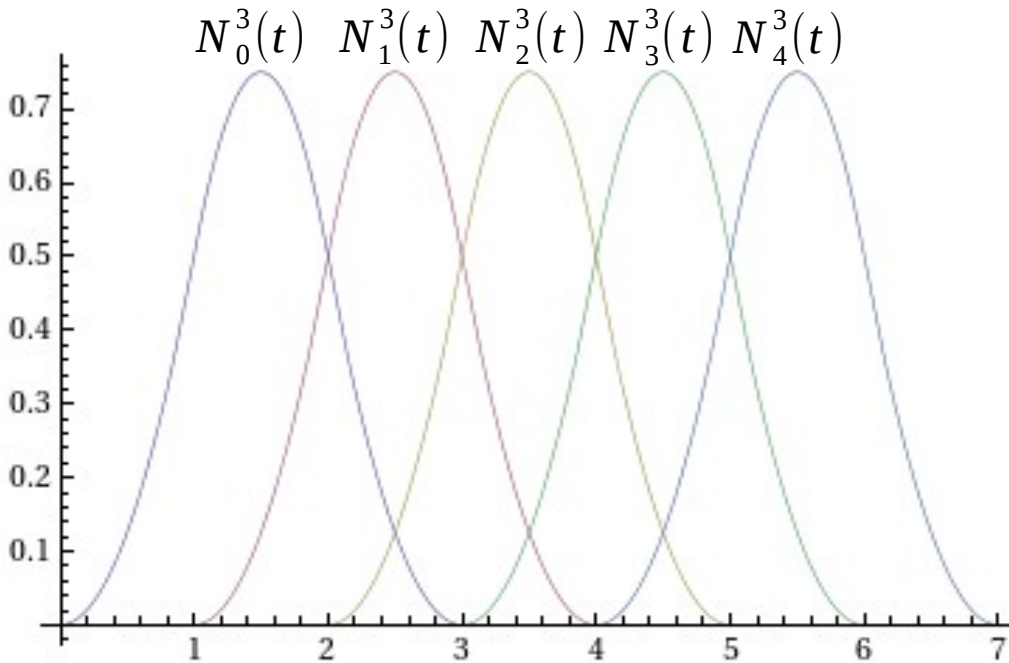
Qual é a multiplicidade dos nós extremos em cada *BSpline*?

Influência do Grau nas curvas

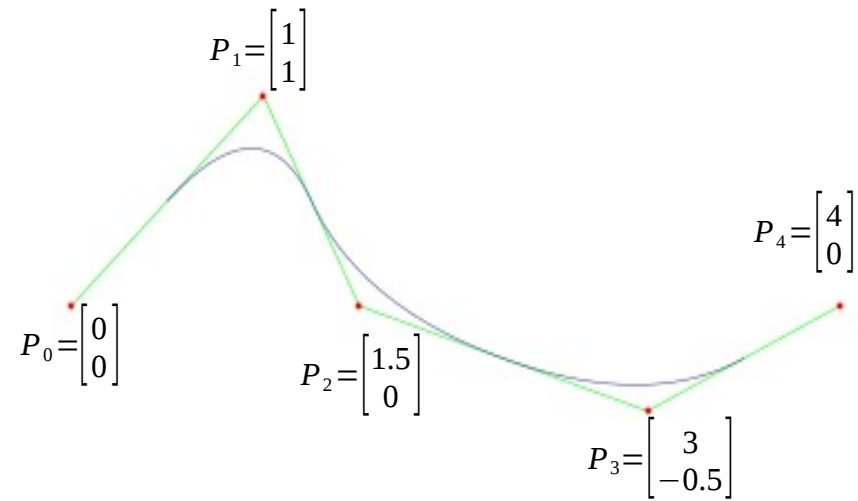


Qual é a multiplicidade dos nós extremos em cada *BSpline*?

Curvas uniformes (abertas)

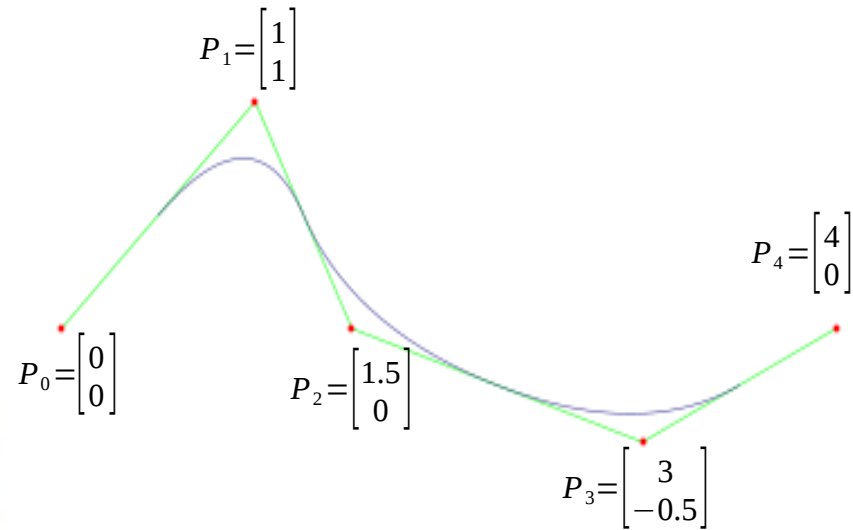
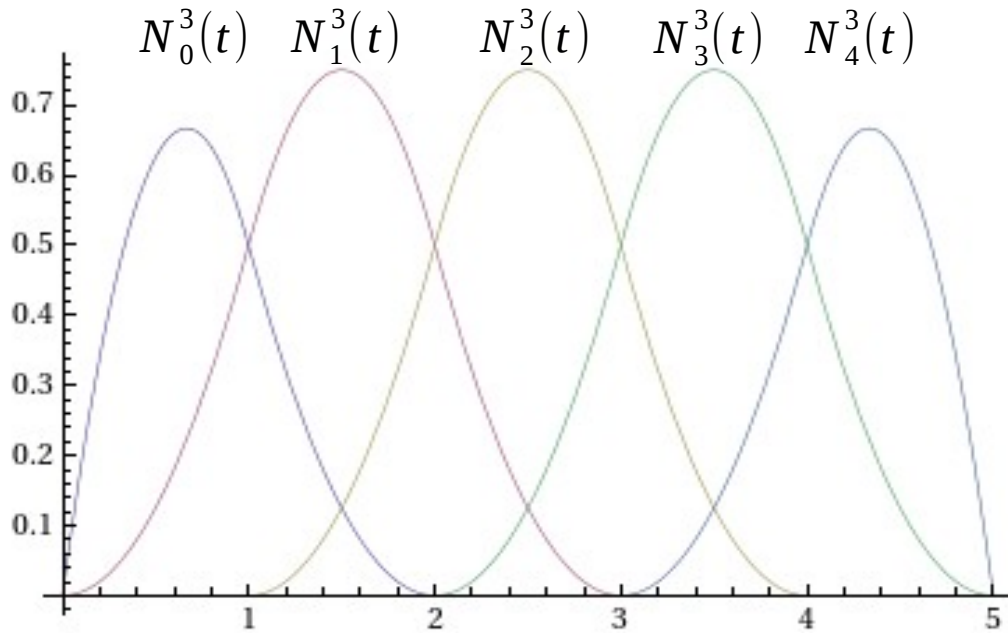


Vetor de Nós: $\{0, 1, 2, 3, 4, 5, 6, 7\}$



$$P(t) = P_0 N_0^3(t) + P_1 N_1^3(t) + P_2 N_2^3(t) + P_3 N_3^3(t) + P_4 N_4^3(t)$$

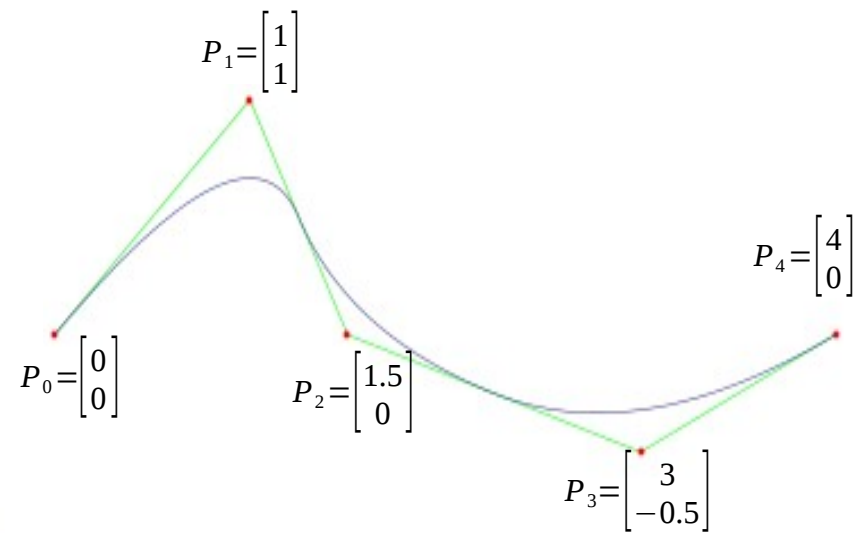
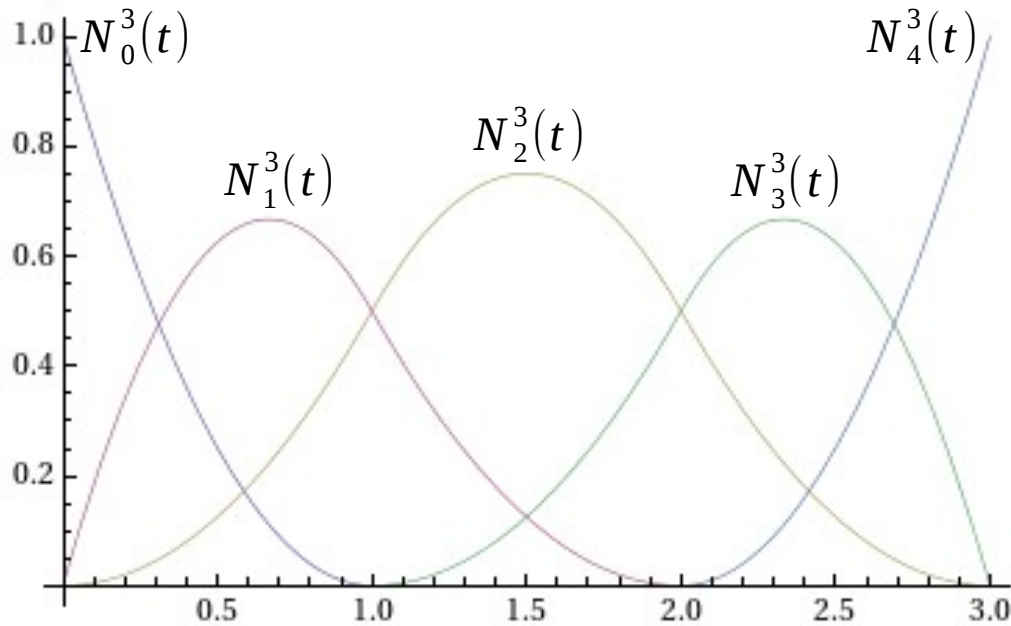
Curvas não-uniformes



Vetor de Nós: $\{0, 0, 1, 2, 3, 4, 5, 5\}$

$$P(t) = P_0 N_0^3(t) + P_1 N_1^3(t) + P_2 N_2^3(t) + P_3 N_3^3(t) + P_4 N_4^3(t)$$

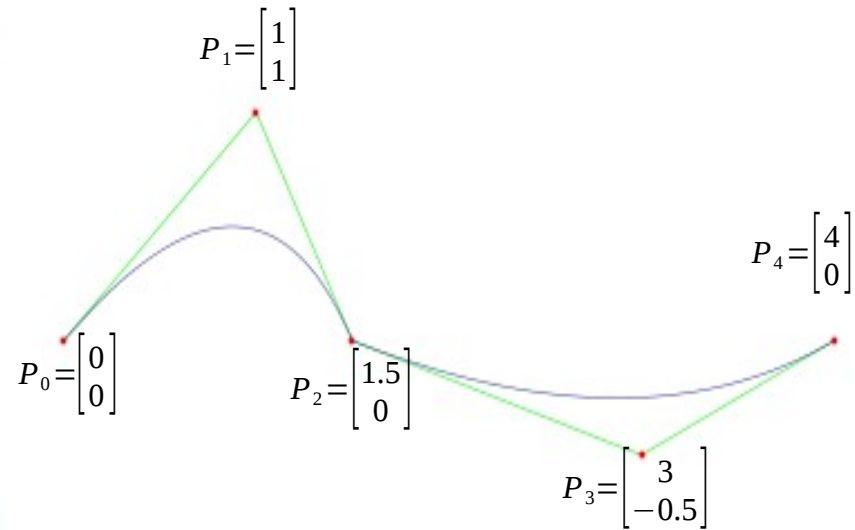
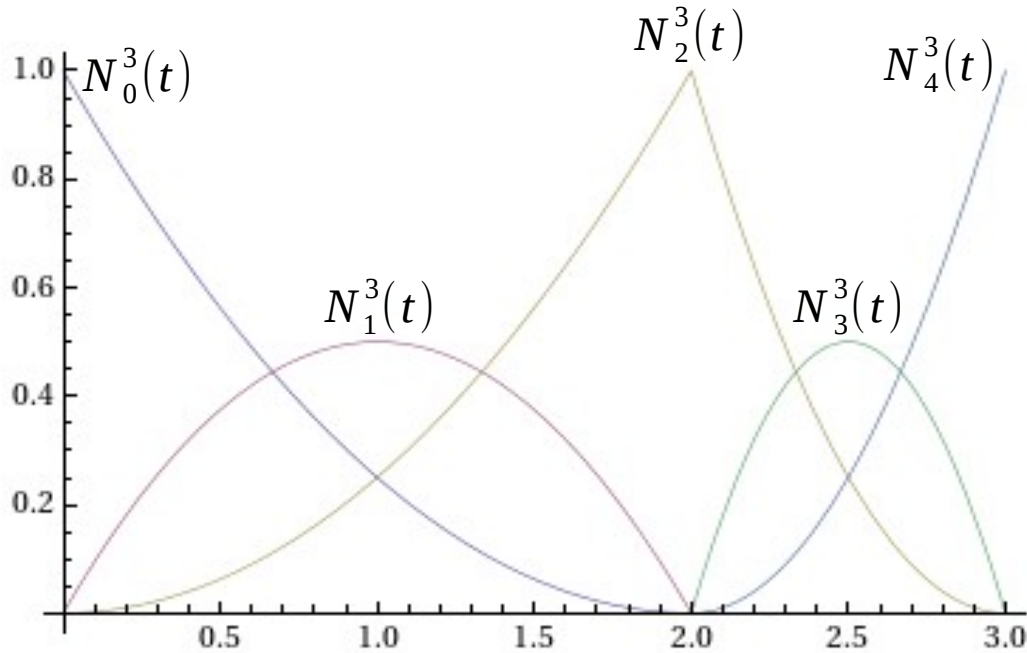
Curvas “atachadas”



Vetor de Nós: $\{0, 0, 0, 1, 2, 3, 3, 3\}$

$$P(t) = P_0 N_0^3(t) + P_1 N_1^3(t) + P_2 N_2^3(t) + P_3 N_3^3(t) + P_4 N_4^3(t)$$

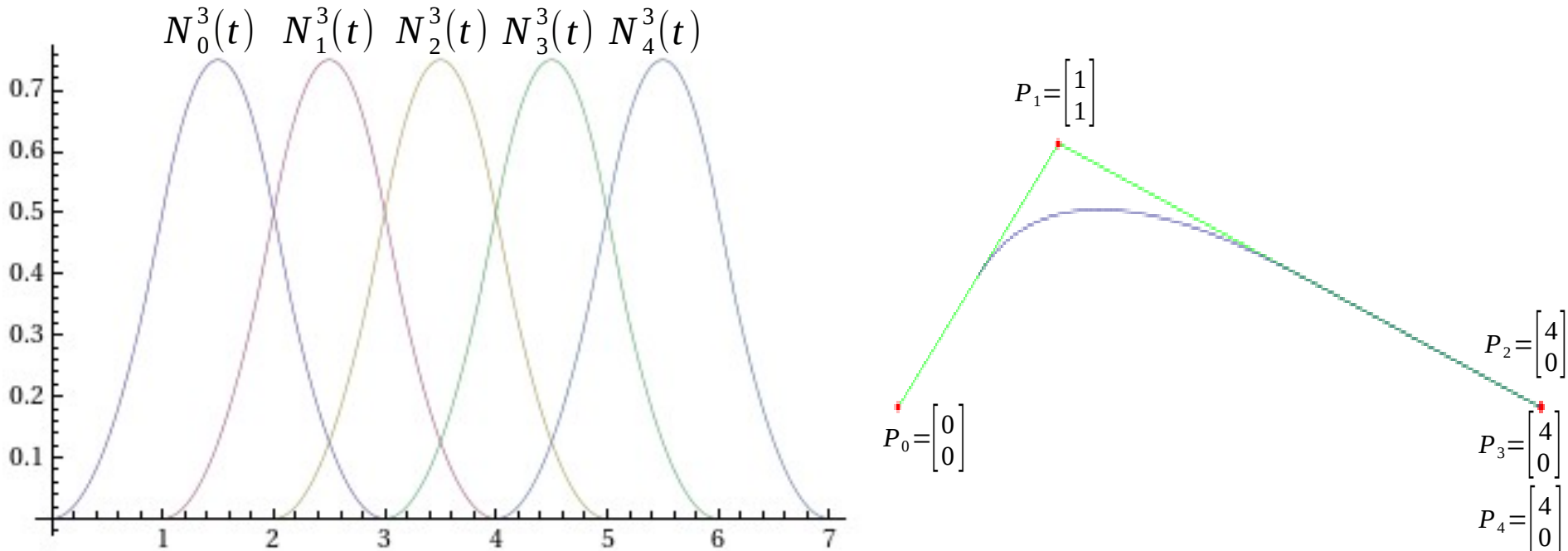
Curvas com cúspides



Vetor de Nós: $\{0, 0, 0, 2, 2, 3, 3, 3\}$

$$P(t) = P_0 N_0^3(t) + P_1 N_1^3(t) + P_2 N_2^3(t) + P_3 N_3^3(t) + P_4 N_4^3(t)$$

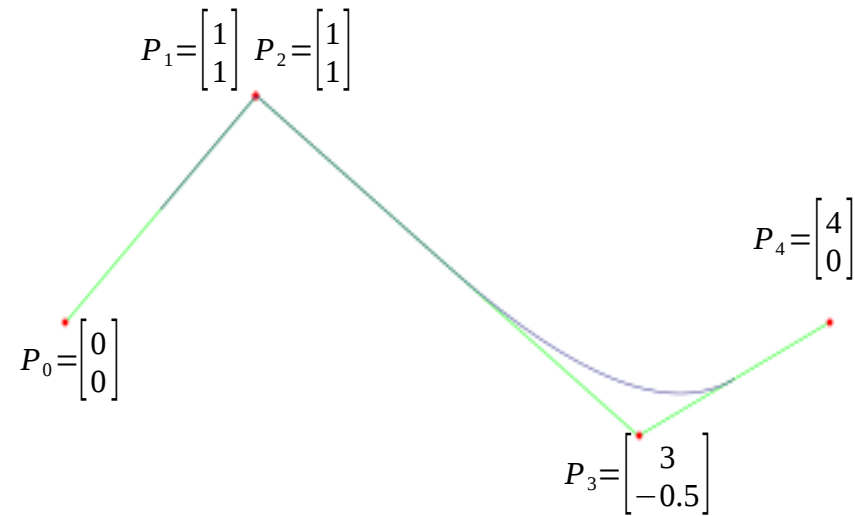
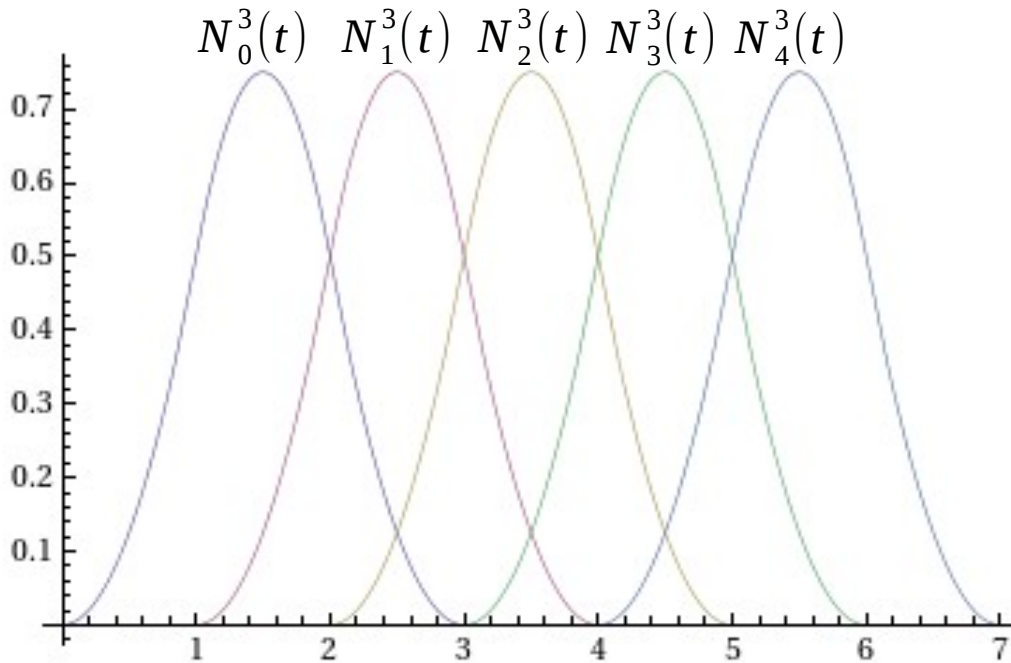
Multiplicidade de Pontos de Controle



Vetor de Nós: $\{0,1,2,3,4,5,6,7\}$

$$P(t) = P_0 N_0^3(t) + P_1 N_1^3(t) + P_2 N_2^3(t) + P_3 N_3^3(t) + P_4 N_4^3(t)$$

Multiplicidade de Pontos de Controle



Vetor de Nós: $\{0, 1, 2, 3, 4, 5, 6, 7\}$

$$P(t) = P_0 N_0^3(t) + P_1 N_1^3(t) + P_2 N_2^3(t) + P_3 N_3^3(t) + P_4 N_4^3(t)$$

Propriedades de *B-Splines*

- Contidas no fecho convexo do polígono de controle das curvas por parte.
- Possui a propriedade de *variation diminishing*.
- São invariantes sob transformações afins.
- Apresenta a precisão linear.
- Com um vetor de nós de multiplicidade 1, B-splines de grau n tem continuidade C^{n-1} .
- Continuidade em nós de multiplicidade r é C^{n-r} .

NURBS

- Non-Uniform Rational B-Splines

$$P(u) = \frac{\sum_{i=0}^L \omega_i d_i N_i^n(u)}{\sum_{i=0}^n \omega_i N_i^n(u)}$$

